

บทที่ 4 การทดลองและผลการทดลอง

ในบทนี้แสดงผลการทดลองอินเวอร์เตอร์ที่นำเสนอดำรงความคุณภาพอากาศและระบบอากาศในโรงเรือนปิดปุ๊สตัวซึ่งมีประโยชน์ที่สำคัญคือ (1) ลดกระแสที่สูงขณะstarter (Inrush Current) ของมอเตอร์ (2) ลดการใช้พลังงานไฟฟ้า (3) มีระบบป้องกันของอินเวอร์เตอร์ที่นำเสนอ และ (4) ปรับเปลี่ยนความเร็วลงได้ ซึ่งประโยชน์เหล่านี้แสดงให้เห็นว่าช่วยลดปัญหาของการควบคุมสภาพอากาศและระบบอากาศด้วยวิธีปิด-ปิด สำหรับการทดลองมีรายละเอียดและแบ่งการทดลองเป็นดังนี้

- 4.1 การลดกระแสที่สูงขณะเริ่มstarter (Inrush Current) ของมอเตอร์
- 4.2 การใช้พลังงานไฟฟ้าโดยการขั้นตอนเตอร์ 1.5 แรงม้า
- 4.3 ระบบป้องกันของอินเวอร์เตอร์ที่นำเสนอ
- 4.4 การปรับเปลี่ยนความเร็วลงและความเร็วตอบพัสดุ

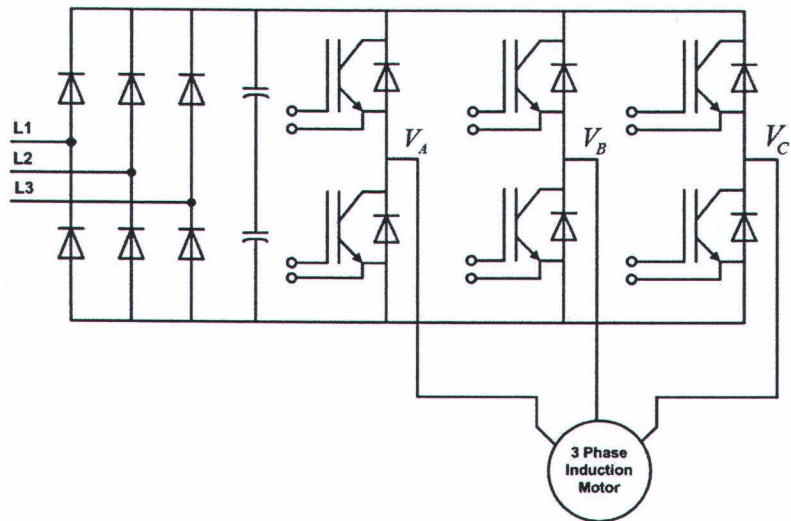
4.1 การลดกระแสที่สูงขณะเริ่มstarter (Inrush Current) ของมอเตอร์

ในหัวข้อนี้ เป็นทดลองวัดสัญญาณแรงดันไฟฟ้าและกระแสไฟฟ้าขณะstarter ของมอเตอร์ด้วยวิธีปิด-ปิด และวิธีอินเวอร์เตอร์ที่นำเสนอ เพื่อมุ่งเน้นให้เห็นการลดกระแสที่สูงขณะของการstarter ด้วยวิธี อินเวอร์เตอร์ที่นำเสนอ รูปที่ 4.1 เป็นวงจรอินเวอร์เตอร์อย่างง่าย เพื่อแสดงให้เห็นจุดที่วัดสัญญาณ แรงดันไฟฟ้าและกระแสไฟฟ้าในการทดลอง มีจุดวัดแรงดันไฟฟ้าและกระแสไฟฟ้าด้านเข้าที่จุด L1 L2 และ L3 สำหรับจุดวัดแรงดันไฟฟ้าและกระแสไฟฟ้าด้านออกที่จุด V_A V_B V_C การทดลองทั้งใน วิธีปิด-ปิดและวิธีอินเวอร์เตอร์ที่นำเสนอ ต่อ กับโหลดคอมมอเตอร์จำนวนเท่ากัน ซึ่งประกอบไปด้วย (1) มอเตอร์มีโหลดใบพัดลมขนาด 1.5 แรงม้า จำนวน 2 ตัว มีกระแสที่สภาวะคงตัวเท่ากับ 2.65 A ต่อตัว (2) มอเตอร์ไม่มีโหลดใบพัดลมขนาด 0.5 แรงม้า จำนวน 1 ตัว มีกระแสที่สภาวะคงตัวเท่ากับ 0.80 A และ (3) มอเตอร์ไม่มีโหลดใบพัดลมขนาด 1.5 แรงม้า จำนวน 2 ตัว มีกระแสที่สภาวะคงตัวเท่ากับ 2.16 A และพิกัดทางไฟฟ้าอื่นๆ ของมอเตอร์เหล่านี้ แสดงดังตารางที่ 4.1

อุปกรณ์สำหรับการทดลอง 4.1 ดังนี้

1. แหล่งจ่ายไฟฟ้ากระแสสลับ 3 เฟส 380 Vrms 50 Hz
2. มอเตอร์หนึ่งยาน้ำ 1.5 แรงม้า 3 เฟส 380 โวลต์ 4 Pole ยี่ห้อ Toshiba
3. Oscilloscope ยี่ห้อ YOKOKAWA รุ่น DL1640
4. Differential Prop ยี่ห้อ SAPPHIRE INSTRUMENTS รุ่น SI-9110
5. Current Clamp ยี่ห้อ FLUKE รุ่น i30s

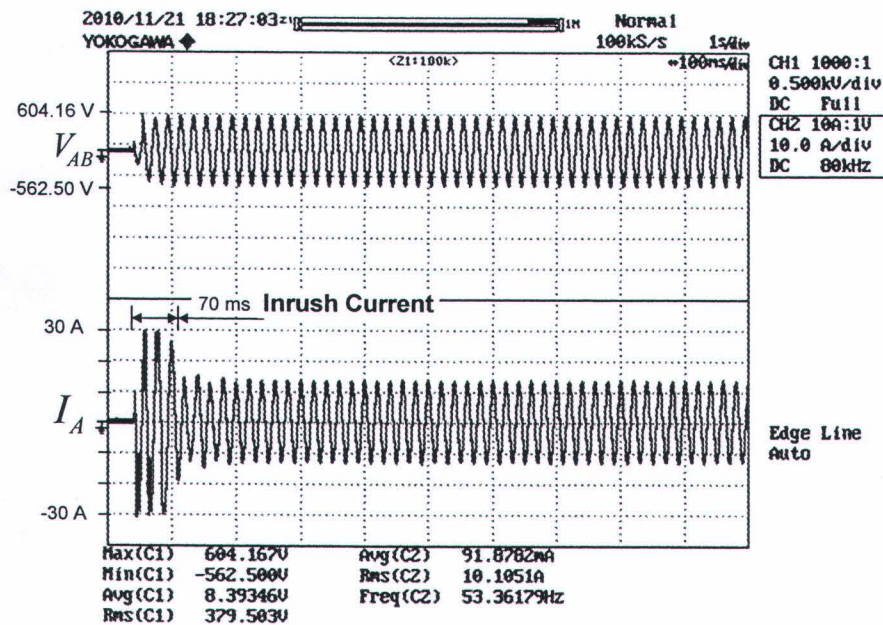
ในรูปที่ 4.2 แสดงแรงดันไฟฟ้าและกระแสไฟฟ้าของมอเตอร์ขณะ starters ที่ด้วยวิธีเปิด-ปิด แรงดันไฟฟ้า 380 V(rms) 50 Hz ถูกจ่ายเข้าไปยังมอเตอร์โดยตรง เป็นผลให้เกิดกระแสสูงประมาณ 30 A ในช่วงเวลา 70 ms ในขณะที่รูปที่ 4.3 แสดงแรงดันไฟฟ้าและกระแสไฟฟ้าของมอเตอร์ขณะ starters ที่ด้วยอินเวอร์เตอร์ที่นำเสนอด้วยกัน ผลจากอินเวอร์เตอร์คือยกปรับแรงดันและความถี่ ทำให้กระแสไฟฟ้าของ starters ประมาณ 3.9 A ผลนี้แสดงให้เห็นว่าอินเวอร์เตอร์ลดกระแสที่สูงขณะ starters ของมอเตอร์ หรือกล่าวได้อีกทางหนึ่งว่า อินเวอร์เตอร์ที่นำเสนอนี้ ช่วยลดกระแสที่สูงขณะ starters (Inrush Current) ของมอเตอร์หนึ่งยิ่งนำ ได้ 1/8 เท่าของการ starters ที่ด้วยวิธีเปิด-ปิด



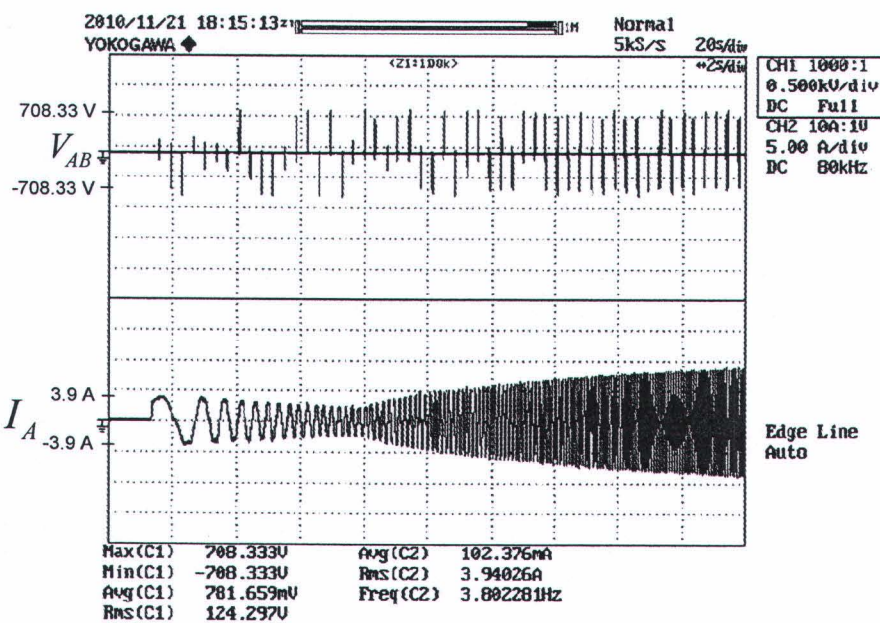
รูปที่ 4.1 วงจรไฟฟ้าภาคกำลังของอินเวอร์เตอร์ที่นำเสนอด้วยกัน ช่วยลดแรงดันไฟฟ้า

ตารางที่ 4.1 พิจารณาของมอเตอร์หนึ่งยิ่งนำและจำนวนมอเตอร์ ที่ใช้ทดลองในหัวข้อ 4.1

ประเภทมอเตอร์	แรงม้า (HP)	แรงดัน (V)	พิกัดกระแส/ตัว (A)	ความถี่ (Hz)	จำนวนขั้ว (Pole)	จำนวนมอเตอร์
มีโหลดใบพัดลม	1.5	380	2.8	50	4	2
ไม่มีโหลดพัดลม	1.5	380	2.8	50	4	2
ไม่มีโหลดพัดลม	0.5	380	1.3	50	4	1



รูปที่ 4.2 แรงดันไฟฟ้าและกระแสไฟฟ้าของมอเตอร์ขณะ starters ที่ด้วยวิธีเปิด-ปิด (V_{AB} : 0.500 kV/div : I_A : 10.00 A/div : 100ms/div)



รูปที่ 4.3 แรงดันไฟฟ้าและกระแสไฟฟ้าของมอเตอร์ขณะ starters ที่ด้วยอินเวอร์เตอร์ที่นำเสนอด้วยวิธีเปิด-ปิด (V_{AB} : 0.500 kV/div : I_A : 10.00 A/div : 2s/div)

4.2 การใช้พลังงานไฟฟ้าโดยการขับมอเตอร์ 1.5 แรงม้า

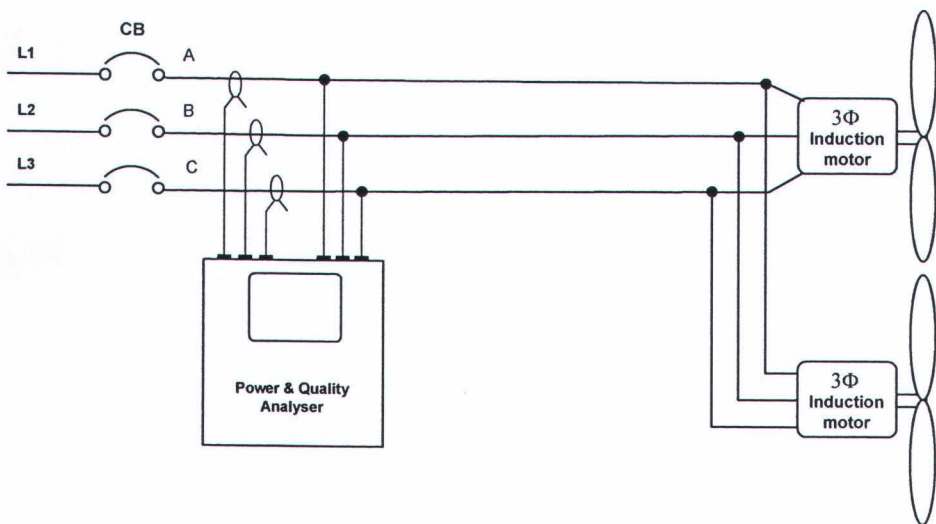
ในหัวข้อนี้ แบ่งการทดลองออกเป็น 2 ส่วนเพื่อประเมินการใช้พลังงานไฟฟ้า ดังนี้คือ (1) การใช้พลังงานไฟฟ้าเมื่อขับมอเตอร์พัดลม 1.5 แรงม้า จำนวน 2 ตัว ในวิธีเปิด-ปิดเบรียบเทียบกับวิธีอินเวอร์เตอร์ที่นำเสนอ และ (2) การใช้พลังงานไฟฟ้าเมื่อขับมอเตอร์พัดลมขนาด 1.5 แรงม้า จำนวน 1 ถึง 5 ตัว โดยทั้ง 2 การทดลองมีรายละเอียดดังต่อไปนี้

4.2.1 การใช้พลังงานไฟฟ้าในวิธีเปิด-ปิดและวิธีอินเวอร์เตอร์ที่นำเสนอ

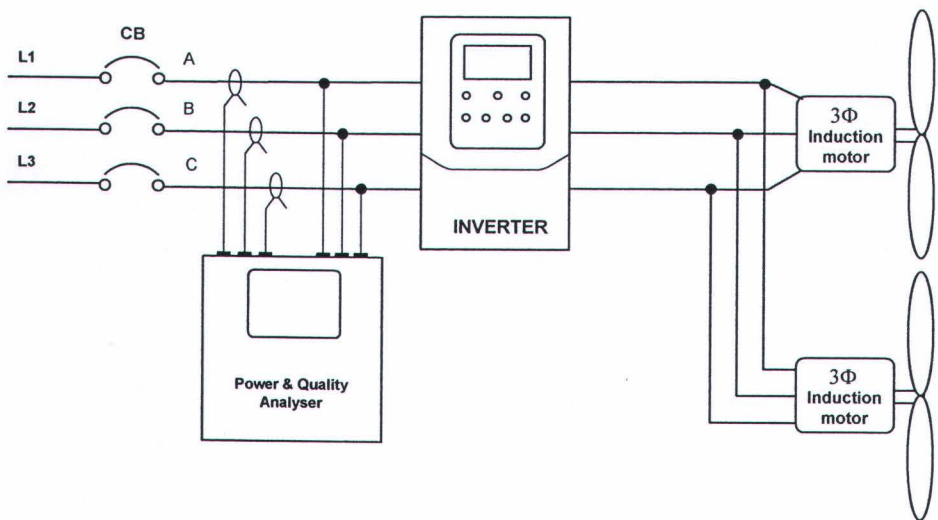
การทดลองในหัวข้อนี้ ทำการทดลองวัดการใช้พลังงานไฟฟ้าในวิธีเปิด-ปิดและวิธีอินเวอร์เตอร์ที่นำเสนอ เมื่อทั้ง 2 วิธี ขับมอเตอร์พัดลม 1.5 แรงม้า จำนวน 2 ตัว เพื่อพิจารณาการผลการใช้พลังงานไฟฟ้าของทั้ง 2 วิธี ในรูปที่ 4.4 แสดงการเชื่อมต่อวงจรทดลองสำหรับวิธีเปิด-ปิด ที่ประกอบด้วย แหล่งจ่ายไฟ 380 V(rms) 50 Hz เชอร์คิตเบรกเกอร์ (CB) เครื่องวัดพลังงานไฟฟ้า (Power & Quality Analyser) และมอเตอร์พัดลม 1.5 แรงม้า 2 ตัว สำหรับรูปที่ 4.5 แสดงการเชื่อมต่อวงจรทดลองสำหรับวิธีอินเวอร์เตอร์ที่นำเสนอ ที่ประกอบด้วยอินเวอร์เตอร์ที่นำเสนอ และอุปกรณ์อื่นๆ เมื่อการทดลองในวิธีเปิด-ปิด ดังรูปที่ 4.4 ผลการทดลองทั้ง 2 วิธี แสดงดังตารางที่ 4.2

ตารางที่ 4.2 แสดงความถี่ แรงดันไฟฟ้า กระแสไฟฟ้า กำลังไฟฟ้า (3ϕ) พลังงานไฟฟ้า (3ϕ) ภายใน 30 นาที และเพาเวอร์เฟกเตอร์ ในวิธีเปิด-ปิดและวิธีอินเวอร์เตอร์ที่นำเสนอ ซึ่งในแต่ละวิธีนั้นขับให้ลดลง 2 ตัว ผลการควบคุมมอเตอร์พัดลมในวิธีเปิด-ปิดนั้น ใช้พลังงานไฟฟ้าภายใน 30 นาที คงที่ที่ 1,432.05 kW-hr ที่ความถี่ 100 % (50 Hz) ในขณะที่วิธีอินเวอร์เตอร์ที่นำเสนอใช้พลังงานไฟฟ้าภายใน 30 นาที 1421.95 kW-hr ที่ความถี่ 100 % (50 Hz) พลังงานไฟฟ้าจะลดลง เมื่อลดความถี่ลง เช่น ที่ความถี่ 80 % (40 Hz) 60 % (30 Hz) และ 40 % (20 Hz) ใช้พลังงานไฟฟ้า 812.620 kW-hr 409.210 kW-hr และ 175.050 kW-hr ตามลำดับ ในขณะที่วิธีเปิด-ปิดนั้น ไม่สามารถลดการใช้พลังงานไฟฟ้า โดยการลดความถี่มอเตอร์พัดลมได้

รูปที่ 4.6 แสดงความสัมพันธ์ของความถี่มอเตอร์พัดลมและพลังงานไฟฟ้ารวม 3 เฟส ภายใน 30 นาที เมื่ออินเวอร์เตอร์ที่นำเสนอ ขับมอเตอร์พัดลม 2 ตัว จากรูปดังกล่าว แสดงให้เห็นว่า พลังงานไฟฟ้าจะปรับผันต随着ความถี่มอเตอร์พัดลม พลังงานไฟฟ้าลดลง ได้ เมื่อปรับความถี่มอเตอร์พัดลมลดลง ดังนั้นจึงกล่าวได้ว่า อินเวอร์เตอร์ที่นำเสนอนี้ลดการใช้พลังงานไฟฟ้ามอเตอร์พัดลม โดยที่อินเวอร์เตอร์นี้ จะปรับลดความถี่มอเตอร์พัดลมลง



รูปที่ 4.4 วงจรการทดลองสำหรับวัดการใช้พลังงานไฟฟ้าในวิธีเปิด-ปิด

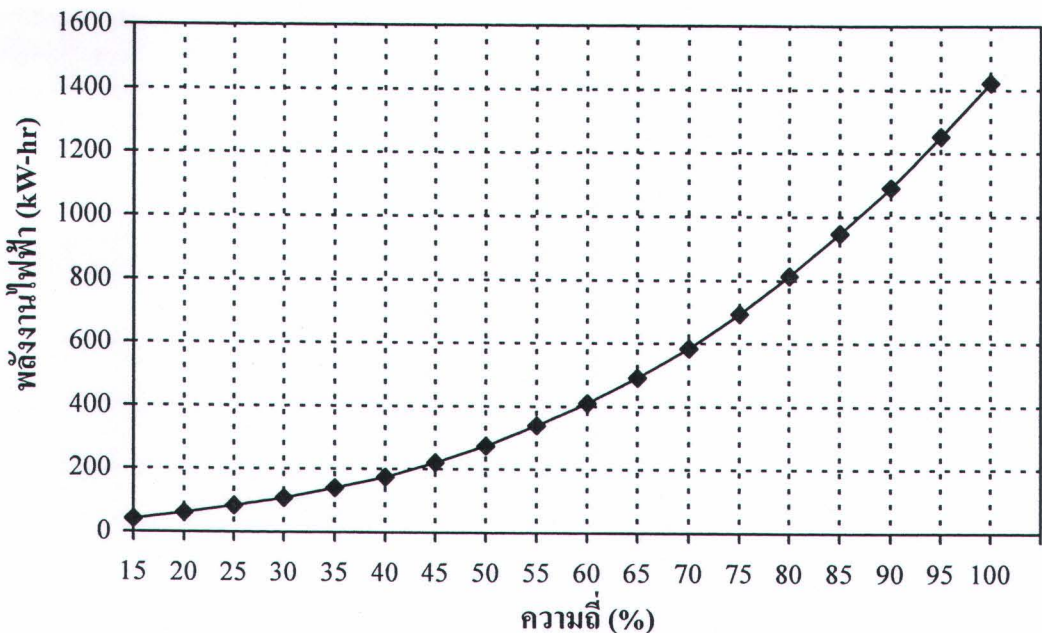


รูปที่ 4.5 วงจรการทดลองสำหรับวัดการใช้พลังงานไฟฟ้าในวิธีอินเวอร์เตอร์ที่นำเสนอด้วย

ตารางที่ 4.2 ความถี่ แรงดันไฟฟ้า กระแสไฟฟ้า กำลังไฟฟ้า (3ϕ) พลังงานไฟฟ้า (3ϕ) 30 นาที และ เพาเวอร์แฟกเตอร์ ในวิธีการควบคุมแบบเปิด-ปิดและวิธีอินเวอร์เตอร์ที่นำเสนอดังข้างต้น เมื่อต่อร์ขณาด 1.5 แรงม้า ที่มีโหลดพัคลม 2 ตัว

วิธีการทดลอง	Freq (%)	V_{L1-L2} (V)	A (average, 3ϕ) (A)	P (3ϕ) (W)	Energy (3ϕ) (W-hr)	PF
เปิด-ปิด	100	380.0	5.127	2868.04	1,432.05	0.84
อินเวอร์เตอร์ที่นำเสนอด้วยตัวเอง	15	389.1	0.338	83.739	41.180	0.34
	20	389.8	0.478	121.611	60.810	0.37
	25	392.0	0.631	164.667	82.330	0.39
	30	393.1	0.790	215.784	107.890	0.40
	35	394.2	0.931	278.324	139.160	0.43
	40	384.3	1.180	350.080	175.050	0.45
	45	386.2	1.440	442.880	221.450	0.46
	50	383.6	1.725	548.810	274.410	0.47
	55	384.2	2.048	675.480	337.750	0.49
	60	381.5	2.430	818.410	409.210	0.51
	65	381.3	2.799	980.990	490.500	0.53
	70	380.1	3.165	1167.31	583.660	0.54
	75	381.9	3.726	1385.09	692.550	0.56
	80	380.4	4.296	1625.22	812.620	0.57
	85	382.3	4.848	1894.28	947.150	0.59
	90	384.8	5.440	2184.9	1091.85	0.60
	95	385.5	6.099	2506.42	1253.21	0.61
	100	380.7	6.928	2843.88	1421.95	0.62

หมายเหตุ ความถี่ 100 % = 50 Hz



รูปที่ 4.6 ความถี่มอเตอร์และพลังงานไฟฟ้ารวม 3 เฟส ภายใน 30 นาที ด้านเข้าของอินเวอร์เตอร์ที่นำเสนอบนขั้นตอนเดอร์ขนาด 1.5 แรงม้า ที่มีโหลดพัดลม 2 ตัว

4.2.2 การใช้พลังงานไฟฟ้าในวิธีอินเวอร์เตอร์ที่นำเสนอ เมื่อปรับเปลี่ยนขั้นตอนเดอร์

ในหัวข้อ 4.2.2 เป็นการทดลองให้อินเวอร์เตอร์ที่นำเสนอ ขั้นตอนเดอร์ไม่มีโหลดพัดลมจำนวน 1 ตัว และ 2 ตัว และขั้นตอนเดอร์มีโหลดพัดลมจำนวน 1 ตัว ถึง 5 ตัว เพื่อศึกษาขนาดกำลังของอินเวอร์เตอร์ที่นำเสนอ ว่าสามารถขั้นตอนเดอร์พัดลมขนาด 1.5 แรงม้า ได้ตรงตามจำนวนที่ออกแบบไว้หรือไม่ และเพื่อศึกษาการใช้พลังงานไฟฟ้า กำลังไฟฟ้า และกระแสไฟฟ้า เมื่ออินเวอร์เตอร์ขั้นตอนเดอร์ดังกล่าว ในการทดลอง จ่ายแรงดันไฟฟ้า 380 Vrms 50 Hz เข้าทางด้านเข้าของอินเวอร์เตอร์ และอินเวอร์เตอร์จะขั้นตอนเดอร์ตั้งแต่ความถี่ 15 % ถึง 100 % (7.5 Hz ถึง 50 Hz) และทำการปรับเปลี่ยนจำนวนขั้นตอนเดอร์ ผลการทดลองนี้แสดงดังตารางที่ ค.1 ถึง ค.7 ในภาคผนวก ค และนำมาแสดงผลเป็นกราฟในรูปที่ 4.7 ถึง 4.12 และมีรายละเอียดดังนี้

ในรูปที่ 4.7 แสดงความสัมพันธ์ของกระแสไฟฟ้าเฉลี่ย 3 เฟส และความถี่มอเตอร์ ขณะที่อินเวอร์เตอร์ขั้นตอนเดอร์ไม่มีโหลดพัดลม 1.5 แรงม้า จำนวน 1 ตัวและ 2 ตัว กระแสไฟฟ้าเฉลี่ย 3 เฟส แปรผันตามความถี่มอเตอร์ กระแสไฟฟ้าจะเพิ่มขึ้น ตามความถี่มอเตอร์ ที่ความถี่ 15 % กระแสไฟฟ้าเฉลี่ย 3 เฟส มีค่าเท่ากับ 0.167 Arms และ 0.275 Arms ในกรณีที่อินเวอร์เตอร์ขั้นตอนเดอร์ 1 ตัวและ 2 ตัว ตามลำดับ สำหรับที่ความถี่ 100 % กระแสไฟฟ้าเฉลี่ย 3 เฟส มีค่าเท่ากับ 0.72 Arms และ 1.16 Arms ในกรณีที่อินเวอร์เตอร์ขั้นตอนเดอร์ 1 ตัวและ 2 ตัว ตามลำดับ

ในรูปที่ 4.8 แสดงความความสัมพันธ์ของกระแสไฟฟ้าเฉลี่ย 3 เฟส และความถี่มอเตอร์ ขณะที่ อินเวอร์เตอร์ขับมอเตอร์ที่มีโหลดพัดลม 1 ตัว ถึง 5 ตัว ที่ความถี่ 15 % และ 100 % เมื่ออินเวอร์เตอร์ ขับมอเตอร์พัดลม 1.5 แรงม้า จำนวน 5 ตัว กระแสไฟฟ้าเฉลี่ยมีค่าเท่ากับ 1.52 Arms และ 18 Arms ตามลำดับความถี่ ผลนี้แสดงให้เห็นว่าอินเวอร์เตอร์ที่นำเสนอนี้สามารถขับมอเตอร์พัดลม 1.5 แรงม้า ได้จำนวน 5 ตัว ในขณะที่ออกแบบไว้เพื่อทำงานกับจำนวนมอเตอร์พัดลม จำนวน 4 ตัว นอกจากนี้ แล้ว ยังทราบพิกัดกระแสไฟฟ้าสูงสุดของอินเวอร์เตอร์มีค่าเท่ากับ 18 Arms เมื่อขับมอเตอร์พัดลม สูงสุดที่ 5 ตัว ดังนั้น ในการติดตั้งอินเวอร์เตอร์สำหรับขับมอเตอร์พัดลม ต้องใช้สายไฟฟ้าที่ทนกระแสไฟฟ้าได้มากกว่า 18 Arms

ในรูปที่ 4.9 แสดงความความสัมพันธ์ของกำลังไฟฟ้ารวม 3 เฟส และความถี่มอเตอร์ ขณะที่อินเวอร์เตอร์ ขับมอเตอร์ที่ไม่มีโหลดพัดลม จำนวน 1 ตัว และ 2 ตัว กำลังไฟฟ้ารวม 3 เฟสในรูปที่ 4.9 มีลักษณะคล้ายกันกับกระแสไฟฟ้าเฉลี่ยในรูปที่ 4.7 เนื่องจากกระแสไฟฟ้ามีค่าเป็นสัดส่วนโดยตรงกับ กำลังไฟฟ้า พิจารณาสมการที่ (4.1) แรงดันไฟฟ้าระหว่างสาย (V_L) มีค่าคงที่ $\cos\theta$ จะเพิ่มขึ้นตามกระแสไฟฟ้า ดังนั้นเมื่อกระแสไฟฟ้าเพิ่มขึ้น กำลังไฟฟ้า (P) จะเพิ่มขึ้น

$$P = \sqrt{3} V_L I_L \cos\theta \quad (4.1)$$

ในรูปที่ 4.10 แสดงความความสัมพันธ์ของกำลังไฟฟ้ารวม 3 เฟส และความถี่มอเตอร์ ขณะที่อินเวอร์เตอร์ ขับมอเตอร์ที่มีโหลดใบพัดลม 1 ตัว ถึง 5 ตัว จากรูปที่ 4.10 นำค่ากำลังไฟฟ้าและความถี่ไปวิเคราะห์ ในโปรแกรม Matlab เพื่อหา Fitting Curve และได้สมการอุณหภูมิสมการที่ (4.2) จะเห็นได้ว่า กำลังไฟฟ้า (P) แปรผันตามความถี่หรือความเร็วพัดลม (X) กำลังสาม ซึ่งเป็นไปตามกฎของพัดลม (Affinity Law; $P \propto \text{Speed}^3$) ที่กล่าวว่า “กำลังไฟฟ้าแปรผันตามความเร็วพัดลมกำลังสาม”

$$P = P_1 X^3 + P_2 X^2 + P_3 X + P_4 \quad (4.2)$$

โดยที่

X คือ ความถี่หรือความเร็วพัดลม

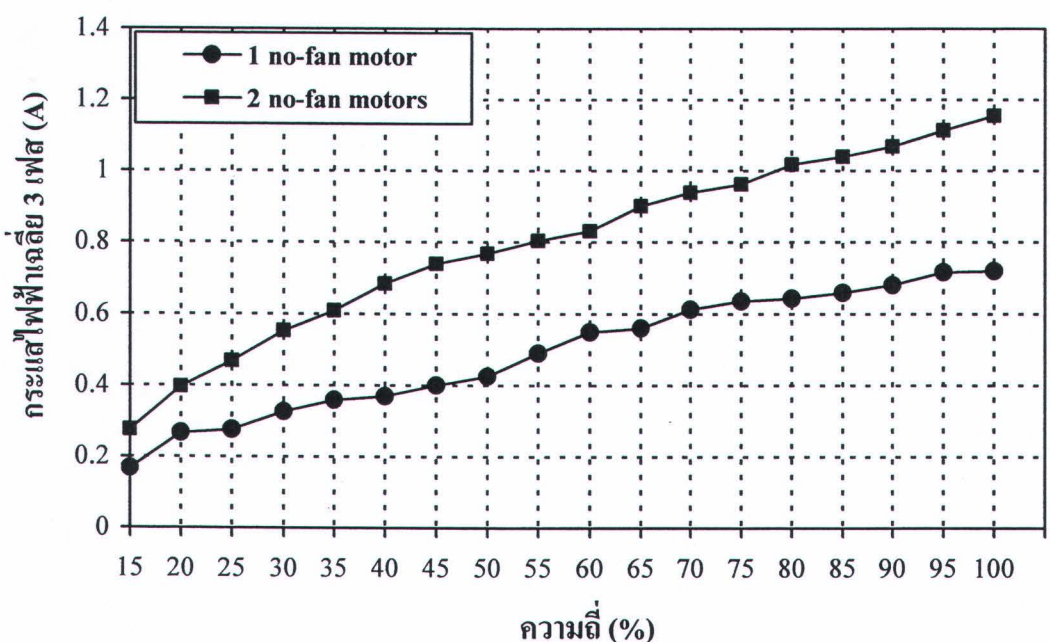
P คือ กำลังไฟฟ้า

$$P_1 = 0.0009955, P_2 = 0.02912, P_3 = 1.248 \text{ และ } P_4 = 1.248$$

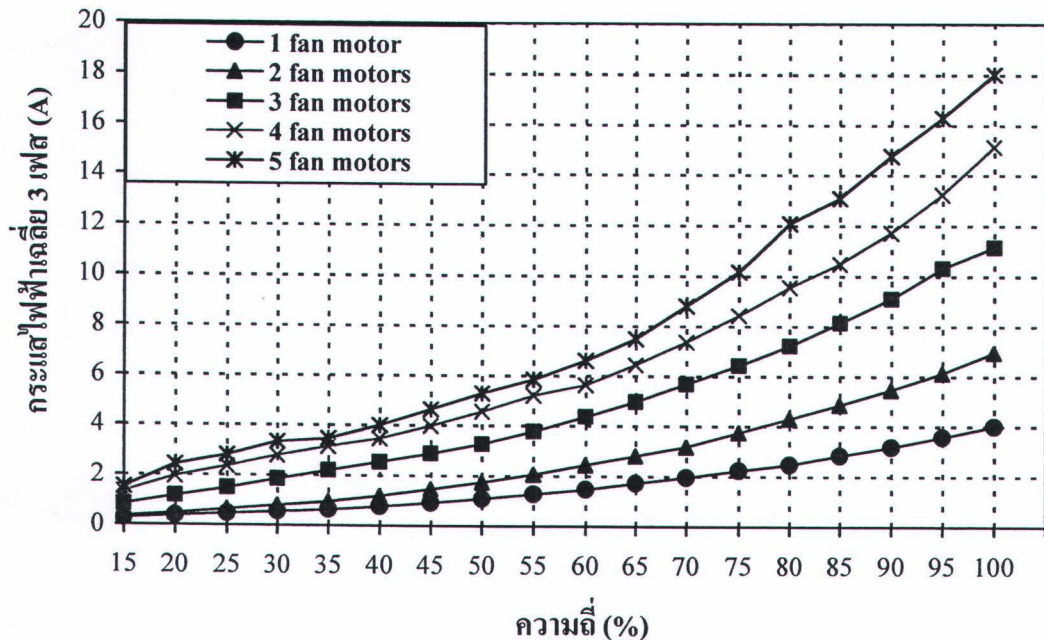
พิจารณาที่ความถี่ 15 % และความถี่ 100 % ขณะที่อินเวอร์เตอร์ขับมอเตอร์ที่มีโหลดพัดลม จำนวน 5 ตัว กำลังไฟฟ้าค่านี้ของอินเวอร์เตอร์ มีค่าเท่ากับ 375.23 W และ 7,597 W ตามลำดับความถี่ ดังนี้

ผลตรงนี้ จึงสรุปได้ว่า ต้องใส่กำลังไฟฟ้าเข้า 7,597 W ที่อินเวอร์เตอร์ เพื่อขับมอเตอร์ที่มีโหลดพัดลม 1.5 แรงม้า จำนวน 5 ตัว (5,595 W) ที่ความถี่ 100 % (50 Hz) ในระบบนี้ จะมีการสูญเสียกำลังไฟฟ้าที่ อินเวอร์เตอร์และที่ตัวมอเตอร์พัดลมด้วย และคิดเป็นประสิทธิภาพของระบบได้เท่ากับ 73 %
 $(\eta = (p_{out} / p_{in}) \times 100 = (5,595 / 7,595) \times 100 = 73\%)$

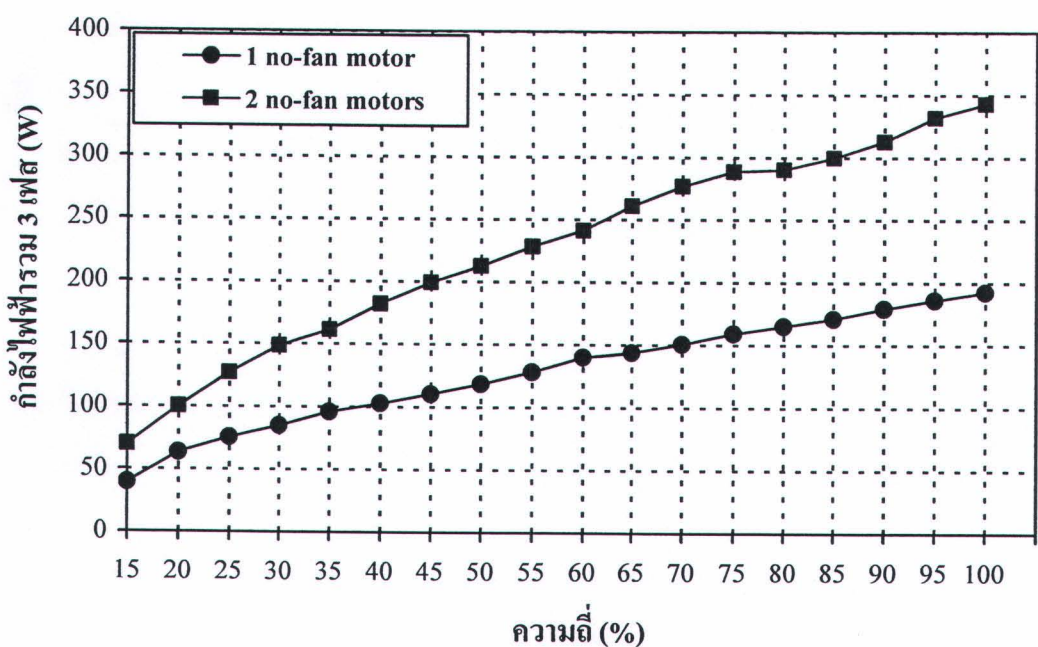
ในรูปที่ 4.11 แสดงความสัมพันธ์ของพลังงานไฟฟ้าภายใน 30 นาที ที่ทางด้านเข้าของอินเวอร์เตอร์ และความถี่มอเตอร์ ขณะที่อินเวอร์เตอร์ขับมอเตอร์ไม่มีโหลดพัดลมจำนวน 1 ตัวและ 2 ตัว กราฟ พลังงานไฟฟ้านี้ มีลักษณะคล้ายกับกระแสไฟฟ้าและกำลังไฟฟ้าในรูปที่ 4.7 และ 4.9 ตามลำดับ เนื่องจากกระแสไฟฟ้าและกำลังไฟฟ้ามีค่าเป็นสัดส่วนโดยตรงกับพลังงานไฟฟ้า ที่ความถี่ 100 % อินเวอร์เตอร์ใช้พลังงานไฟฟ้าภายใน 30 นาที เท่ากับ 96.1 W-hr และ 171 W-hr สำหรับขับมอเตอร์ ไม่มีโหลดพัดลม 1 ตัวและ 2 ตัว ตามลำดับ สำหรับรูปที่ 4.12 แสดงความสัมพันธ์ของพลังงานไฟฟ้าภายใน 30 นาที ที่ทางด้านเข้าของอินเวอร์เตอร์และความถี่มอเตอร์ ขณะที่อินเวอร์เตอร์ขับมอเตอร์ที่มีโหลดพัดลมจำนวน 1 ถึง 5 ตัว พลังงานไฟฟ้าแปรผันกับความถี่หรือความเร็วของเตอร์ ลักษณะกราฟ เป็นไปตามลักษณะโหลดประเภทพัดลม คือ กำลังไฟฟ้าหรือพลังงานไฟฟ้า แปรตามความถี่หรือ ความเร็วของเตอร์กำลังสาม ที่ความถี่ 100 % อินเวอร์เตอร์ใช้พลังงานไฟฟ้าภายใน 30 นาที เท่ากับ 3,779 W-hr สำหรับขับมอเตอร์มีโหลดพัดลมจำนวน 5 ตัว



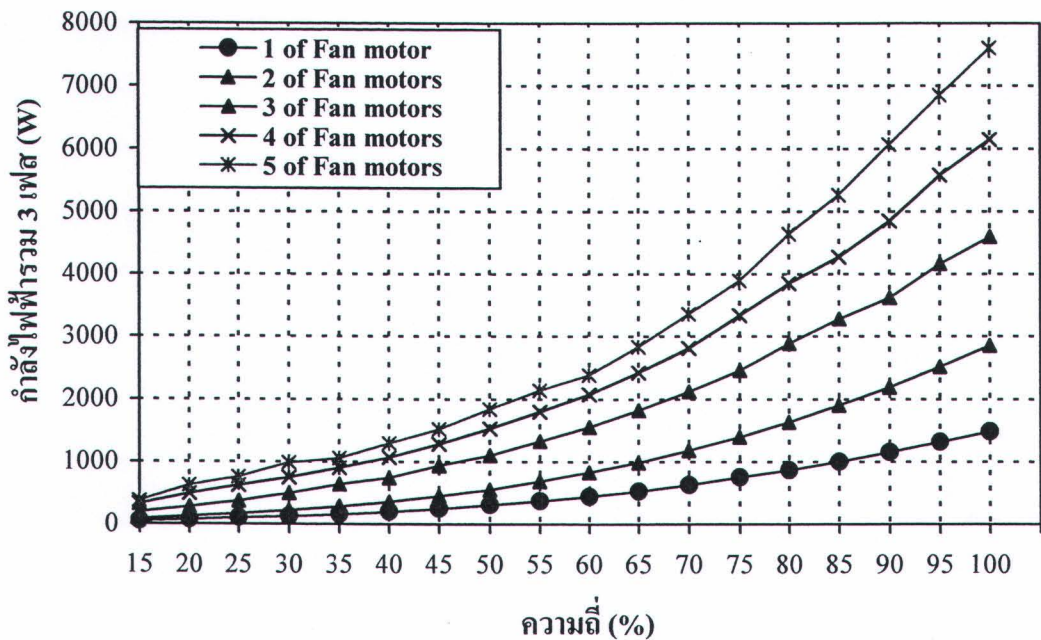
รูปที่ 4.7 ความถี่ของมอเตอร์และกระแสไฟฟ้าเฉลี่ย 3 เฟส ด้านเข้าของอินเวอร์เตอร์ที่นำเสนอด้วย ขับมอเตอร์ขนาด 1.5 แรงม้า ที่ไม่มีโหลดพัดลม 1 ตัว และ 2 ตัว



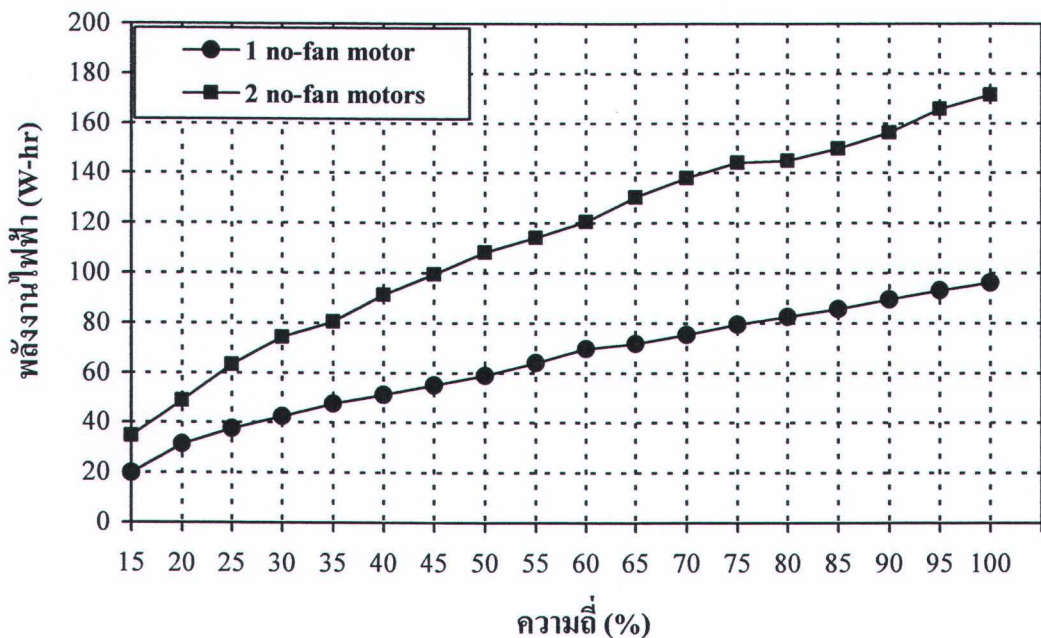
รูปที่ 4.8 ความถี่ของมอเตอร์และกระแสไฟฟ้าเฉลี่ย 3 เฟสด้านเข้าของอินเวอร์เตอร์ที่นำเสนอ ขณะขับมอเตอร์ขนาด 1.5 แรงม้า ที่มีโหลดพัดลม 1 ตัว ถึง 5 ตัว



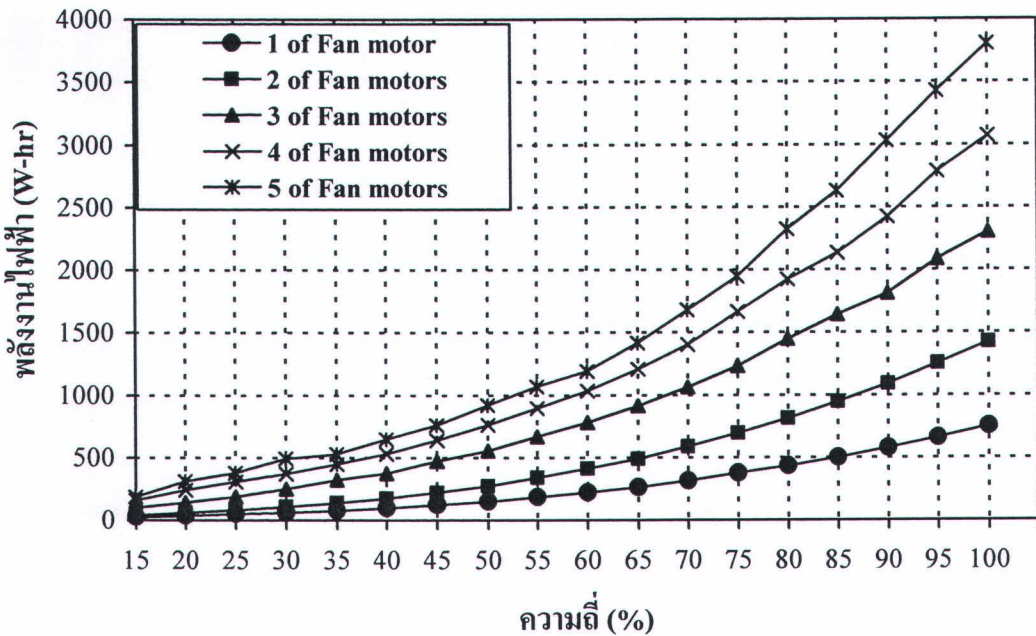
รูปที่ 4.9 ความถี่ของมอเตอร์และกำลังไฟฟ้ารวม 3 เฟสด้านเข้าของอินเวอร์เตอร์ที่นำเสนอ ขณะขับมอเตอร์ขนาด 1.5 แรงม้า ที่ไม่มีโหลดพัดลม 1 ตัว และ 2 ตัว



รูปที่ 4.10 ความถี่ของมอเตอร์และกำลังไฟฟ้ารวม 3 เฟสด้านเข้าของอินเวอร์เตอร์ที่นำเสนอด้วยขั้บ
มอเตอร์ขนาด 1.5 แรงม้า ที่ไม่มีโหลดพัดลม 1 ตัว ถึง 5 ตัว



รูปที่ 4.11 ความถี่ของมอเตอร์และพลังงานไฟฟ้ารวม 3 เฟส ภายใน 30 นาที ด้านเข้าของอินเวอร์เตอร์
ที่นำเสนอด้วยขั้บมอเตอร์ขนาด 1.5 แรงม้า ที่ไม่มีโหลดพัดลม 1 ตัว และ 2 ตัว



รูปที่ 4.12 ความถี่ของมอเตอร์และพลังงานไฟฟ้ารวม 3 เฟส ภายใน 30 นาที ด้านข้างของอินเวอร์เตอร์ที่นำเสนอดังนี้ ขณะขั้บมอเตอร์ขนาด 1.5 แรงม้า ที่มีโหลดพัดลม 1 ตัว ถึง 5 ตัว

4.3 ระบบป้องกันของอินเวอร์เตอร์ที่นำเสนอดังนี้

ตามข้อกำหนดมาตรฐาน IEEE 1159 [28] ว่าด้วยเรื่องการเปลี่ยนแปลงแรงดันไฟฟ้า สำหรับการเปลี่ยนแปลงแรงดันไฟฟ้ามีหลายประเภทด้วยกัน ในที่นี้จะอธิบายเฉพาะอธิบายเฉพาะประเภทแรงดันไฟฟ้าเกินและแรงดันไฟฟ้าตกเท่านั้น ในความหมายของการเปลี่ยนแปลงแรงดันไฟฟ้าทั้ง 2 ประเภทเป็นดังนี้ แรงดันไฟฟ้าตก คือ แรงดันไฟฟ้า rms (Vrms) ที่มีการเปลี่ยนแปลง 10 ถึง 90 % ของแรงดันไฟฟ้าที่พิกัด ในช่วงเวลา 10 msec ถึง 1 min และแรงดันไฟฟ้าเกิน คือ แรงดันไฟฟ้า rms ที่มีการเปลี่ยนแปลง 110 ถึง 180 % ของแรงดันไฟฟ้าที่พิกัด เพื่อไม่ให้เกิดความเสียหาย กระแทกต่ออินเวอร์เตอร์ที่นำเสนอดังนี้ ให้พัดลมระบายอากาศในโรงเรือนทำงานได้ต่อและเพื่อให้กระแทกต่อสัตว์ในโรงเรือน โดยเฉพาะกรณีแรงดันไฟฟ้าตก จะทำให้เกิดสาระจากปริมาณสูง ให้ภายในอุปกรณ์ อินเวอร์เตอร์ที่นำเสนอนี้จึงต้องหยุดทำงานทันที เพื่อป้องกันไม่ให้เกิดความเสียหาย ดังนั้น อินเวอร์เตอร์ที่นำเสนอนี้จึงมีการออกแบบให้มีการหยุดทำงานใน 3 กรณี คือ (1) เมื่อเกิดแรงดันไฟฟ้าเกินกว่ากำหนด (2) เมื่อเกิดแรงดันไฟฟ้าต่ำกว่ากำหนด และ (3) เมื่อเกิดกระแสไฟฟ้าเกินกว่ากำหนด และเพื่อไม่ให้มอเตอร์พัดลมหยุดทำงานในขณะเกิดเหตุกรณีที่ 3 กรณีดังกล่าว ซึ่งจะทำให้เกิดความเสียหายต่อสัตว์ในโรงเรือน จึงออกแบบให้แบบที่ทำงานแทนอินเวอร์เตอร์นี้ เรียกระบบนี้ว่า “ระบบสำรอง” (Back Up System) ซึ่งในขณะอินเวอร์เตอร์หยุดทำงาน อินเวอร์เตอร์จะสั่งให้ระบบสำรองทำงานแทน โดยสั่งการผ่านรีเลย์สวิตช์ ให้รีเลย์ปิดวงจร (Closed Switch)

สำหรับการทดลองในหัวข้อ 4.3 นี้ เป็นการจำลองการทำงานของอินเวอร์เตอร์ที่นำเสนอด้วยกราฟิกเดา เหตุการณ์ 3 กราฟดังกล่าว วงจรการทดลองแสดงดังรูปที่ 4.13 ซึ่งประกอบด้วย (1) แหล่งจ่ายไฟฟ้า 3 เฟส 380 V 50 Hz (2) เครื่องปรับแรงดันไฟฟ้า (3) อินเวอร์เตอร์ที่นำเสนอด้วย (4) ระบบสำรอง (5) ไมเตอร์พัดลม โดยมีเงื่อนไขทางไฟฟ้าสำหรับการทดลองดังนี้

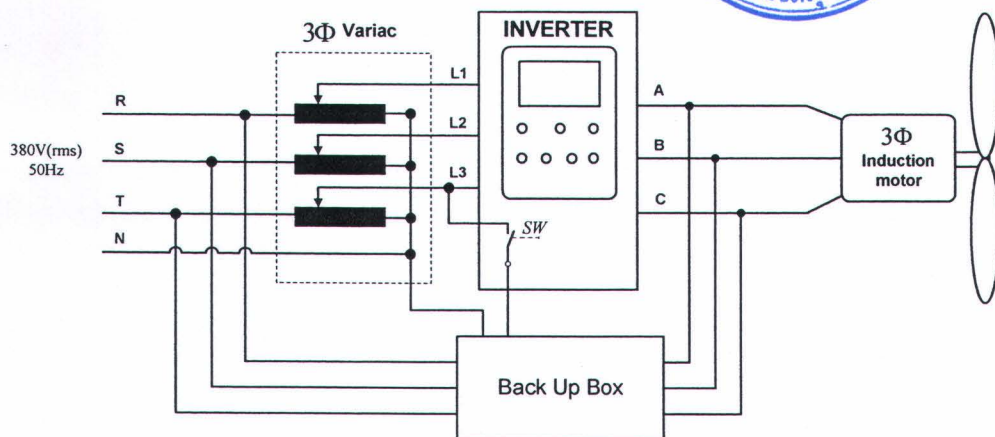
1. เมื่อแรงดันไฟฟ้ามากกว่า 420 V(rms) อินเวอร์เตอร์จะหยุดทำงานและรีเลย์สวิตช์จะปิดวงจร
2. เมื่อแรงดันไฟฟ้าน้อยกว่า 340 V(rms) อินเวอร์เตอร์จะหยุดทำงานและรีเลย์สวิตช์จะปิดวงจร
3. เมื่อกระแสไฟฟ้าเกิน 6 A(rms) อินเวอร์เตอร์จะหยุดทำงานและรีเลย์สวิตช์จะปิดวงจร

ในรูปที่ 4.14 แสดงแรงดันไฟฟ้าด้านเข้าอินเวอร์เตอร์ (V_{L1-L2}) กระแสไฟฟ้ามอเตอร์ (I_A) และแรงดันไฟฟ้าต่อกรุ่นสวิตช์รีเลย์ (V_{SW}) ในรูปนี้แสดงให้เห็นว่าเมื่อแรงดันไฟฟ้าด้านเข้าอินเวอร์เตอร์ (V_{L1-L2}) เพิ่มขึ้นจาก 380 V (rms) เป็น 434.29 V (rms) ซึ่งเกินกว่าค่าแรงดันที่กำหนด (420 Vrms) จากนั้นอีกประมาณ 325 ms จะสวิตช์รีเลย์จะปิดวงจร เป็นผลให้แรงดันไฟฟ้าต่อกรุ่นสวิตช์รีเลย์ (V_{SW}) เท่ากับ 0 V และความเร็วและกระแสไฟฟ้ามอเตอร์ค่อยๆ ลดลงเรื่อยๆ และจะหยุดนิ่งที่เวลา 67.5 s นับจากที่สวิตช์รีเลย์ปิดวงจร

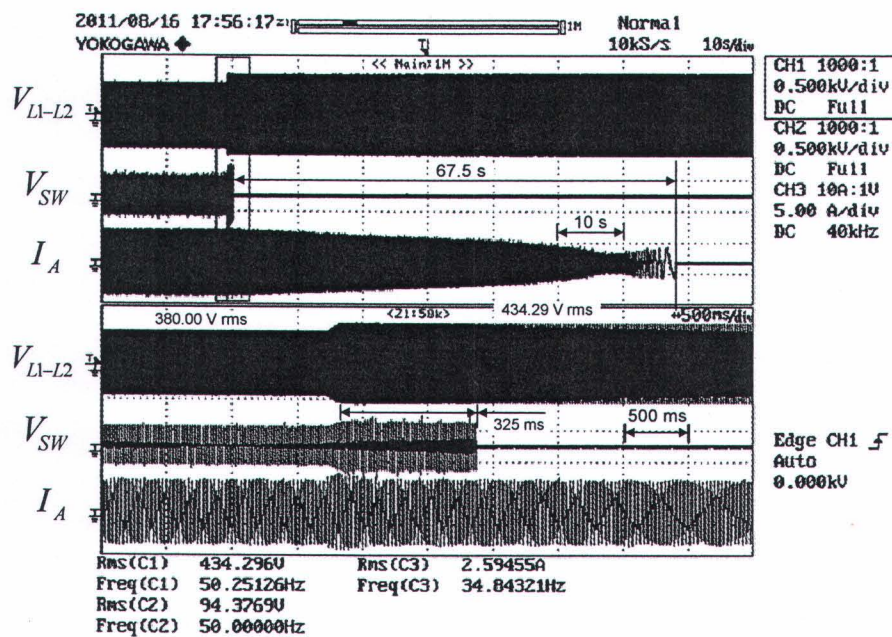
ในรูปที่ 4.15 แสดงแรงดันไฟฟ้าด้านเข้าอินเวอร์เตอร์ (V_{L1-L2}) กระแสไฟฟ้ามอเตอร์ (I_A) และแรงดันไฟฟ้าต่อกรุ่นสวิตช์รีเลย์ (V_{SW}) ในรูปนี้แสดงให้เห็นว่าเมื่อแรงดันด้านเข้าอินเวอร์เตอร์ (V_{L1-L2}) ที่ลดลงจาก 380 V (rms) เป็น 274.25 V(rms) ซึ่งแรงดันไฟฟ้าต่ำกว่าที่กำหนด (340 Vrms) จากนั้นอีกประมาณ 325 ms จะสวิตช์รีเลย์จะปิดวงจร เป็นผลให้แรงดันไฟฟ้าต่อกรุ่นสวิตช์รีเลย์ (V_{SW}) เท่ากับ 0 V และความเร็วและกระแสไฟฟ้ามอเตอร์ (I_A) ค่อยๆ ลดลงเรื่อยๆ และจะหยุดนิ่งที่เวลา 70.5 s นับจากที่สวิตช์รีเลย์ปิดวงจร

ในรูปที่ 4.16 แสดงแรงดันไฟฟ้าด้านเข้าอินเวอร์เตอร์ (V_{L1-L2}) กระแสไฟฟ้ามอเตอร์ (I_A) และแรงดันไฟฟ้าต่อกรุ่นสวิตช์รีเลย์ (V_{SW}) ในรูปนี้แสดงให้เห็นว่าเมื่อกระแสไฟฟ้ามอเตอร์ (I_A) ที่เพิ่มจาก 5.399 A เป็น 37 A ซึ่งเกินกว่ากระแสที่กำหนดไว้ (6 A) จากนั้นอีกประมาณ 425 ms จะสวิตช์รีเลย์จะปิดวงจร เป็นผลให้แรงดันไฟฟ้าต่อกรุ่นสวิตช์รีเลย์ (V_{SW}) เท่ากับ 0 V และความเร็วและกระแสไฟฟ้ามอเตอร์ (I_A) ค่อยๆ ลดลงเรื่อยๆ และจะหยุดนิ่งที่เวลา 71.5 s นับจากที่สวิตช์รีเลย์ปิดวงจร

อย่างไรก็ตาม ระบบการป้องกันอันเนื่องมาจากการเกิดผลกระทบทางไฟฟ้าทั้ง 3 กราฟดังกล่าว ได้ออกแบบไว้สำหรับป้องกันเฉพาะเครื่องอินเวอร์เตอร์ ไม่ได้ป้องกันมอเตอร์พัดลมด้วย

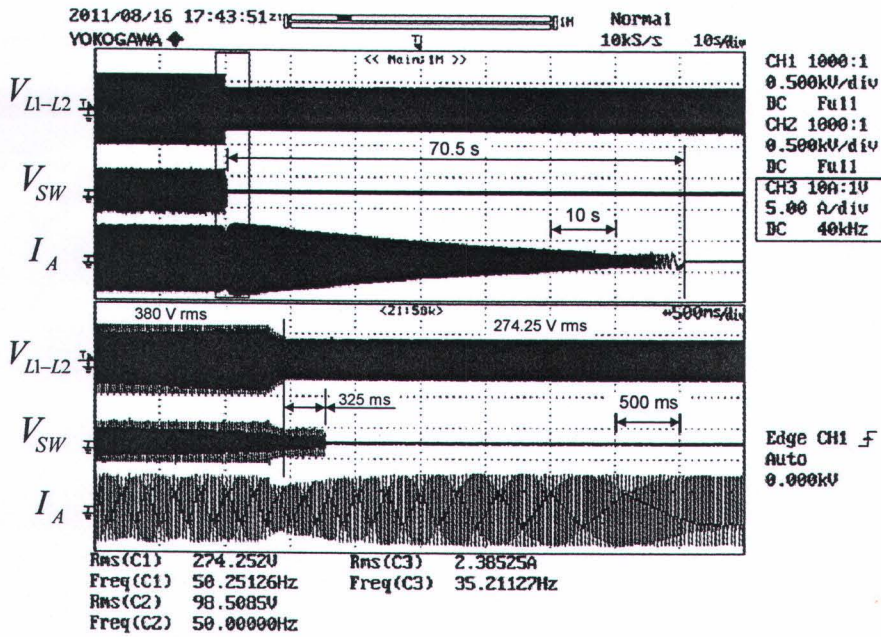


รูปที่ 4.13 การเชื่อมต่อวงจรการทดลองสำหรับป้องกันอินเวอร์เตอร์ที่นำเสนอด้วย



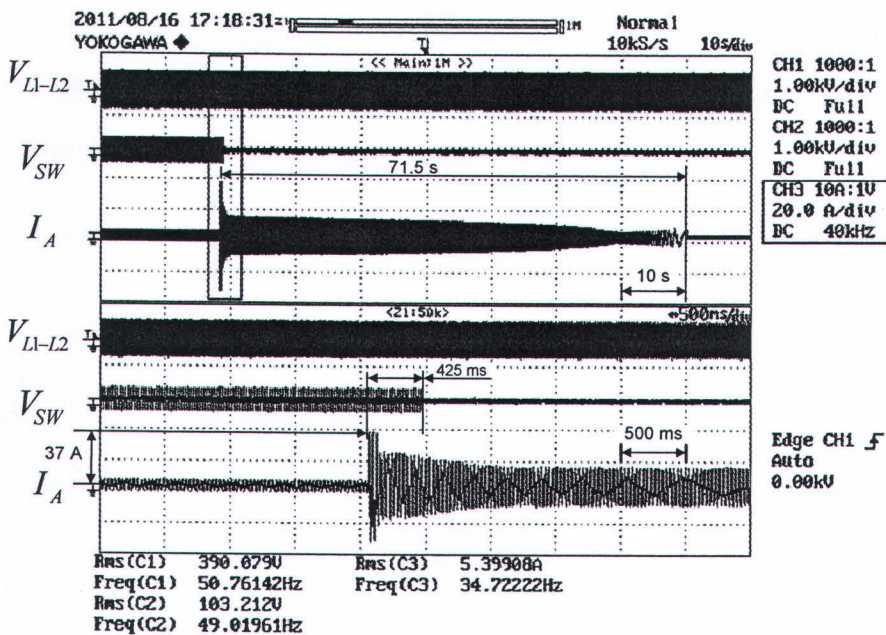
รูปที่ 4.14 แรงดันไฟฟ้าด้านเข้าอินเวอร์เตอร์ แรงดันไฟฟ้าต่อกลุ่มสวิตช์รีเลย์ กระแสไฟฟ้ามอเตอร์ พัฒนาระบบต่อไปนี้ที่แรงดันด้านเข้าเกินกว่ากำหนด

(V_{L1-L2} : 0.500 kV/div; V_{SW} : 0.500 kV/div ; I_A : 5.00 A/div :10s/div)



รูปที่ 4.15 แรงดันไฟฟ้าค้านเข้าอินเวอร์เตอร์ แรงดันไฟฟ้าต่อกรุ่นสวิตช์รีเลย์ กระแสไฟฟ้ามอเตอร์ ในกรณีที่แรงดันต่ำกว่าที่กำหนด

(V_{L1-L2} : 1.00 kV/div ; V_{SW} : 1.00 kV/div ; I_A : 5.00 A/div : 10s/div)



รูปที่ 4.16 แรงดันไฟฟ้าค้านเข้าอินเวอร์เตอร์ แรงดันต่อกไฟฟ้าครุ่นสวิตช์รีเลย์ กระแสไฟฟ้ามอเตอร์ ในกรณีที่กระแสไฟฟ้ามอเตอร์เกินกว่ากำหนด

(V_{L1-L2} : 1.00 kV/div ; V_{SW} : 1.00 kV/div ; I_A : 20.00 A/div : 10s/div)

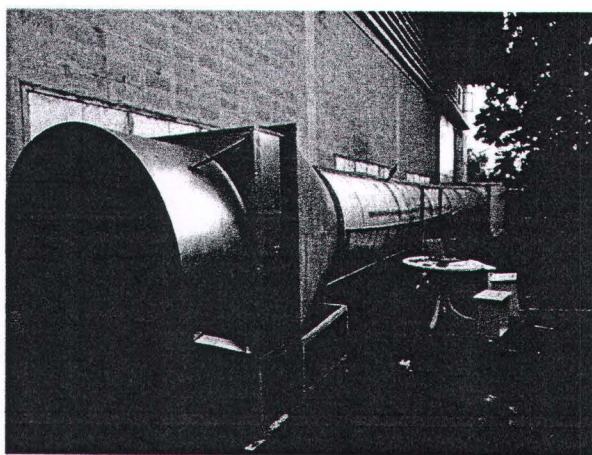
4.4 การปรับเปลี่ยนความเร็วลมและความเร็วรอบพัดลม

การทดลองวัดความเร็วลมนี้ ทำการวัดความเร็วในอุโมงค์ลมที่มีขนาดเส้นผ่านศูนย์ 1.30 เมตรและมีความยาว 16 เมตร รูปที่ 4.17 (ก) แสดงอุโมงค์ลมที่ใช้ในการทดลอง สำหรับรูปที่ 4.17 (ข) แสดงตำแหน่งในการวัดความเร็วภายในอุโมงค์ลม ตำแหน่งที่วัดแบ่งเป็นตามแกน X ได้แก่ X1 X2 X3 X4 และ X5 ซึ่งแต่ละตำแหน่งมีระยะห่างจากด้านนอกของอุโมงค์เป็น 127 มิลลิเมตร 176 มิลลิเมตร 225 มิลลิเมตร 274 มิลลิเมตรและ 545 มิลลิเมตรตามลำดับ สำหรับตำแหน่งวัดตามแกน Y ได้แก่ Y1 Y2 Y3 Y4 และ Y5 ซึ่งแต่ละตำแหน่งมีระยะห่างจากด้านนอกของอุโมงค์เท่ากับแนวแกน X การทดลองวัดความเร็วลมในอุโมงค์นี้ ได้แบ่งการเป็นทดลองเป็นดังนี้

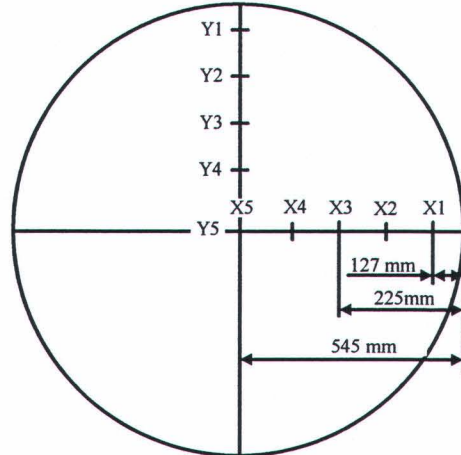
- 4.4.1 ความเร็วลมในอุโมงค์ของวิธีเปิด-ปิดและวิธีอินเวอร์เตอร์ที่นำเสนอด้วยคันไฟฟ้าด้านขวา
- 4.4.2 ความเร็วลมในอุโมงค์ของวิธีเปิด-ปิด และวิธีอินเวอร์เตอร์ที่นำเสนอด้วยคันไฟฟ้าด้านขวา
- 4.4.3 ความเร็วรอบพัดลม

อุปกรณ์ที่ใช้ในการทดลอง 4.4 ดังนี้

1. อินเวอร์เตอร์สำหรับควบคุมสภาพอากาศและการระบายอากาศ
2. เครื่องวัดความเร็วลม (Anemometer) และหัววัด ยี่ห้อ DIGICON รุ่น DA-45
3. หม้อแปลงไฟฟ้าปรับแรงดัน 3 เฟส (3 phase Variac)



(ก)



(ข)

รูปที่ 4.17 สถานที่ อุโมงค์ลมและตำแหน่งที่ใช้วัดความเร็วลม

(ก) อุโมงค์ลมที่ใช้วัดความเร็วลม

(ข) ตำแหน่งภายในอุโมงค์ลมที่ใช้วัดความเร็ว

4.4.1 ความเร็วลมในอุโมงค์ของวิธีเปิด-ปิดและวิธีอินเวอร์เตอร์ที่นำเสนอด้วยหัวข้อนี้ทดลองวัดความเร็วในอุโมงค์ลม โดยการควบคุมมอเตอร์พัดลมในวิธีเปิด-ปิดและวิธีอินเวอร์เตอร์ที่นำเสนอด้วยหัวข้อนี้ จ่ายแรงดันไฟฟ้า 380 Vrms 50 Hz เข้าไปที่มอเตอร์พัดลมโดยตรง และทำการวัดความเร็วลมแต่ละตำแหน่ง และสำหรับวิธีอินเวอร์เตอร์ที่นำเสนอมอเตอร์พัดลมจะถูกขับด้วยอินเวอร์เตอร์ที่ความเร็ว (ความถี่กระแสไฟฟ้า) ตั้งแต่ 15 % ถึง 100 % โดยห่างช่วงละ 5 % แล้ววัดความเร็วในอุโมงค์ลมแต่ละตำแหน่ง เช่นกัน ผลของการวัดความเร็วลมทั้งสองวิธีมีรายละเอียดดังนี้

ตารางที่ 4.3 แสดงความเร็วลมแต่ละตำแหน่งในอุโมงค์ลมของวิธีเปิด-ปิด ความเร็วลมทั้งในแนวแกน X และแนวแกน Y ทุกๆ ตำแหน่งนั้นมีค่าคงที่ตลอด วิธีไม่สามารถปรับความเร็วลมได้ สำหรับตารางที่ 4.4 แสดงความสัมพันธ์ระหว่างผลความเร็วลมในอุโมงค์ลมแต่ละจุดตามแนวแกน X และแกน Y กับความถี่กระแสไฟฟ้ามอเตอร์พัดลมของวิธีอินเวอร์เตอร์ที่นำเสนอด้วยหัวข้อนี้ และแสดงเป็นกราฟได้ดังรูปที่ 4.18 และรูปที่ 4.19 ตามแกน X และ Y ตามลำดับ

ในรูปที่ 4.18 แสดงความสัมพันธ์ของความเร็วลมในเร็วลมในแนวแกน X กับความถี่กระแสไฟฟ้า มอเตอร์ความเร็วลมที่ตำแหน่งจุดศูนย์กลางอุโมงค์ลม (X5) มีความเร็วสูงสุดที่ทุกๆ ความถี่กระแสไฟฟ้ามอเตอร์พัดลม เมื่อเทียบกับความเร็วลมในตำแหน่งอื่นๆ ในขณะที่ความเร็วลมตำแหน่ง X1 มีความเร็วลมต่ำสุด ที่ทุกๆ ความถี่กระแสไฟฟ้ามอเตอร์พัดลม ในรูปที่ 4.19 แสดงความเร็วลมในแนวแกน Y มีความเร็วลมสูงสุดและต่ำสุดที่ตำแหน่งจุดศูนย์กลางอุโมงค์ลม (Y5) และ Y1 ตามลำดับ

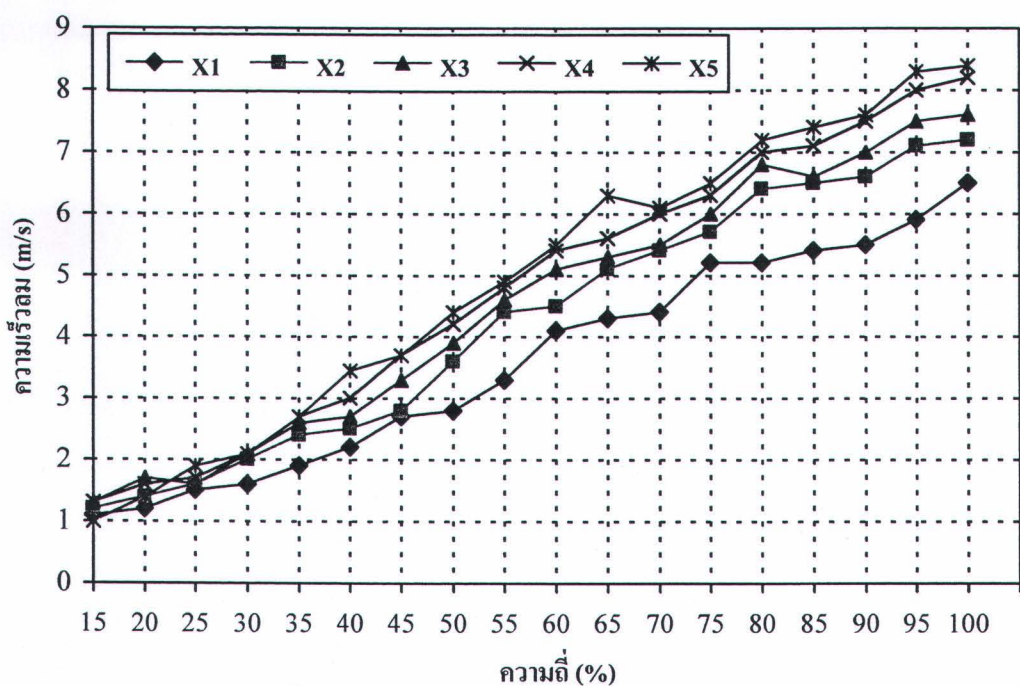
จากความเร็วลมในอุโมงค์ลมทั้งแกน X และ Y จะเห็นได้ว่าความเร็วลมเปลี่ยนแปลงตามความถี่กระแสไฟฟ้ามอเตอร์หรือความเร็วลมมอเตอร์พัดลมที่ถูกปรับโดยอินเวอร์เตอร์ที่นำเสนอด้วยหัวข้อนี้ ปรับเพื่อปรับเพิ่มความเร็วลมของเตอร์พัดลม ความเร็วลมที่จะเพิ่มขึ้นตามไปด้วย และเมื่อลดความเร็วลมของเตอร์พัดลมลงความเร็วลมก็จะลดลงตาม จากผลนี้ แสดงให้เห็นว่าอินเวอร์เตอร์สามารถที่จะปรับเปลี่ยนความเร็วลมได้ตามที่ต้องการ ซึ่งเป็นข้อดี ในการออกแบบยุกต์ทำงาน เพื่อปรับความเร็วลมให้เหมาะสมแก่สัตว์ในโรงเรือนแต่ละช่วงอายุ ในขณะที่วิธีเปิด-ปิดนั้น ไม่สามารถปรับเปลี่ยนความเร็วลมได้

ตารางที่ 4.3 ความเร็วลมแต่ละตำแหน่งในอุโมงค์ตามแนวแกน X และแกน Y ของวิธีเปิด-ปิด

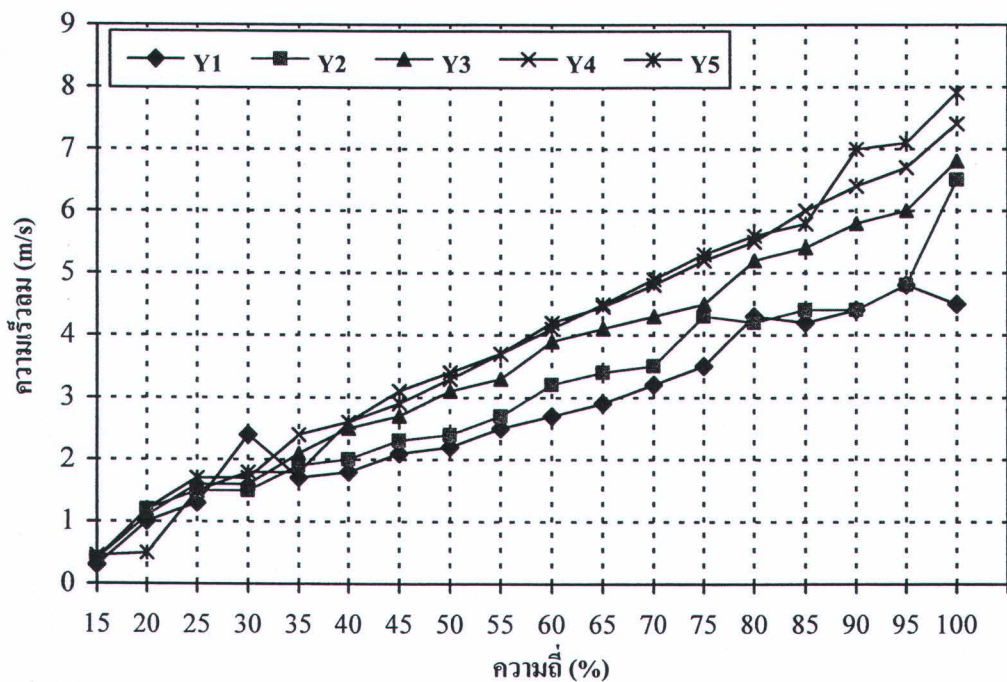
แรงดันไฟฟ้า เข้ามอเตอร์ (V _{L-L})	ความเร็วลมแต่ละตำแหน่งในอุโมงค์ลม (m/s)									
	X1	X2	X3	X4	X5	Y1	Y2	Y3	Y4	Y5
380	4.628	5.232	5.480	6.084	6.356	3.308	3.888	5.288	5.96	6.164

**ตารางที่ 4.4 ความเร็วลมแต่ละตำแหน่งในอุโมงค์ตามแนวแกน X และแกน Y กับความถี่
กระแสไฟฟ้ามอเตอร์พัดลม ของวิธีอินเวอร์เตอร์ที่นำเสนอด้วย**

ความถี่ กระแสไฟฟ้า มอเตอร์พัดลม (%)	ความเร็วลมแต่ละตำแหน่งในอุโมงค์ลม (m/s)									
	X1	X2	X3	X4	X5	Y1	Y2	Y3	Y4	Y5
15	1.10	1.2	1.0	1.3	1.0	0.3	0.4	0.4	0.4	0.5
20	1.2	1.4	1.7	1.6	1.4	1.0	1.2	1.1	1.2	1.5
25	1.5	1.6	1.6	1.7	1.9	1.3	1.5	1.6	1.7	1.8
30	1.6	2.0	2.1	2.1	2.1	2.4	1.5	1.6	1.7	1.8
35	1.9	2.4	2.6	2.7	2.7	1.7	1.9	2.1	2.4	2.6
40	2.2	2.5	2.7	3.0	3.45	1.8	2.0	2.5	2.6	2.9
45	2.7	2.8	3.3	3.7	3.7	2.1	2.3	2.7	3.1	3.3
50	2.8	3.6	3.9	4.2	4.4	2.2	2.4	3.1	3.4	3.7
55	3.3	4.4	4.6	4.8	4.9	2.5	2.7	3.3	3.7	4.1
60	4.1	4.5	5.1	5.4	5.5	2.7	3.2	3.9	4.2	4.5
65	4.3	5.1	5.3	5.6	6.3	2.9	3.4	4.1	4.45	4.9
70	4.4	5.4	5.5	6.0	6.1	3.2	3.5	4.3	4.8	5.3
75	5.2	5.7	6.0	6.3	6.5	3.5	4.3	4.5	5.2	5.6
80	5.2	6.4	6.8	7.0	7.2	3.8	4.2	5.2	5.5	5.8
85	5.4	6.5	6.6	7.1	7.4	3.9	4.4	5.4	6.0	6.8
90	5.5	6.6	7.0	7.5	7.6	4.0	4.4	5.8	6.4	7.0
95	5.9	7.1	7.5	8.0	8.3	4.2	4.8	6.0	6.7	7.1
100	6.5	7.2	7.6	8.2	8.4	4.6	6.5	6.8	7.4	7.9



รูปที่ 4.18 ความถี่ของมอเตอร์พัดลมกับความเร็วลมแต่ละตำแหน่งในอุโมงค์ลมตามแกน X ในวิธีอินเวอร์เตอร์ที่นำเสนอด้วย



รูปที่ 4.19 ความถี่ของมอเตอร์พัดลมกับความเร็วลมแต่ละตำแหน่งในอุโมงค์ลมตามแกน Y ในวิธีอินเวอร์เตอร์ที่นำเสนอด้วย

4.4.2 ความเร็วลมในอุโมงค์ลมของวิธีเปิด-ปิดและวิธีอินเวอร์เตอร์ที่นำเสนอด้วย ปรับเปลี่ยนแรงดันไฟฟ้าด้านขา

กรณีความเร็วลมในอุโมงค์ลมของวิธีเปิด-ปิด เมื่อปรับเปลี่ยนแรงดันไฟฟ้าด้านขา : การทดลองนี้เป็นการทดลองจำลองการทำงานของมอเตอร์พัดลม ในกรณีที่เกิดแรงดันไฟฟ้าต่ำและเกิน ตารางที่ 4.5 แสดงผลของความเร็วลมแต่ละตำแหน่งในอุโมงค์ลมตามแนวแกน X และแกน Y เมื่อจ่ายแรงดันไฟฟ้า 3 เฟส เข้าที่มอเตอร์พัดลมโดยตรง โดยปรับระดับแรงดันตั้งแต่ 340-420 V (rms) ผลจากตารางที่ 4.5 นำมาแสดงเป็นกราฟได้ดังรูปที่ 4.20 และ 4.21 สำหรับความเร็วลมตามแนวแกน X และแกน Y ตามลำดับ ผลนี้จะเห็นว่าแรงดันไฟฟ้าที่จ่ายเข้ามอเตอร์พัดลมแปรเปลี่ยนโดยตรงกับความเร็วลมในอุโมงค์ คือแรงดันไฟฟ้าที่จ่ายเข้ามอเตอร์ลดลง ความเร็วลมก็ลดตามไปด้วย

กรณีความเร็วลมในอุโมงค์ลมของวิธีอินเวอร์เตอร์ที่นำเสนอด้วยปรับเปลี่ยนแรงดันไฟฟ้าด้านขา : การทดลองนี้เป็นการทดลองวัดความเร็วลมที่ตำแหน่งต่างๆในอุโมงค์เปรียบเทียบกับแรงดันไฟฟ้าทางด้านขาอินเวอร์เตอร์ที่ถูกปรับระดับตั้งแต่ 360-420 V (rms) การทดลองนี้มีวัตถุประสงค์เพื่อศึกษาผลของความเร็วลมในขณะใช้อินเวอร์เตอร์ที่นำเสนอบนขั้นตอนมอเตอร์พัดลม เมื่อเกิดการเปลี่ยนแปลงของแรงดันไฟฟ้าด้านขาอินเวอร์เตอร์ การทดลองนี้ได้แบ่งการทดลองเป็น 2 การทดลองดังนี้

- (ก) ความเร็วลมขณะที่อินเวอร์เตอร์ขั้นตอนมอเตอร์พัดลมที่ความถี่ 100 %
- (ข) ความเร็วลมขณะที่อินเวอร์เตอร์ขั้นตอนมอเตอร์พัดลมที่ความถี่ 20 %

(ก) : ตารางที่ 4.6 แสดงความเร็วลมแต่ละตำแหน่งในอุโมงค์ลมตามแนวแกน X และแกน Y กับแรงดันไฟฟ้าด้านขาอินเวอร์เตอร์ ขณะที่อินเวอร์เตอร์ขั้นตอนมอเตอร์พัดลมที่ความถี่ 100% และผลในตารางที่ 4.6 ได้นำมาแสดงเป็นกราฟได้ดังรูปที่ 4.22 และ 4.23 ตามแนวแกน X และ Y ตามลำดับ ตามความเร็วแต่ละตำแหน่งในอุโมงค์ลมที่วัดได้เปลี่ยนแปลงตามระดับแรงดันด้านขาอินเวอร์เตอร์ ถ้าแรงดันไฟฟ้าลดลง ความเร็วลมก็จะลดลงตามและถ้าแรงดันไฟฟ้าด้านขาอินเวอร์เตอร์เพิ่มขึ้น ความเร็วลมก็จะเพิ่มขึ้นตาม แต่อย่างไรก็ตามการเปลี่ยนแปลงของความเร็วลมในระดับนี้ ถือได้ว่าเป็นการเปลี่ยนแปลงเล็กน้อย เช่น การเปลี่ยนของแรงดันไฟฟ้าด้านขาอินเวอร์เตอร์จาก 380 Vrms เป็น 360 Vrms ที่ตำแหน่ง X1 เกิดความเปลี่ยนแปลงของความเร็วลมจาก 4.712 m/s เป็น 4.444 m/s ตามลำดับ เป็นต้น สำหรับที่ระดับแรงดันไฟฟ้า 340 Vrms และ 350 Vrms อินเวอร์เตอร์ไม่ทำงานเนื่องจากแรงดันไฟฟ้าต่ำกว่า ต่ำกว่าแรงดันไฟฟ้าที่อินเวอร์เตอร์ตั้งไว้ทำงาน (Under Voltage) ความเร็วลมของวิธีอินเวอร์เตอร์ที่นำเสนอด้วยในตารางที่ 4.6 นี้ เมื่อเปรียบกับความเร็วลมของวิธีเปิด-ปิด ในตารางที่ 4.5 ขณะเกิดการเปลี่ยนแปลงของแรงดันไฟฟ้าระหว่าง 360 -420 Vrms ความเร็วลมของวิธีอินเวอร์เตอร์ที่นำเสนอด้วย มีค่าสูงกว่าในวิธีเปิด-ปิด ในทุกๆตำแหน่งในอุโมงค์ลม ทั้งตามแนวแกน X

และ ตามแนวแกน Y เนื่องจากเมื่อขั้บมอเตอร์พัดลมด้วยอินเวอร์เตอร์ที่นำเสนอ ที่ความถี่ 100 % วัด ความเร็วรอบได้เท่ากับ 447.33 รอบต่อวินาที ขณะที่ขั้บมอเตอร์ด้วยวิธีเปิด-ปิด วัดความเร็วรอบได้เท่ากับ 430 รอบต่อวินาที ดังนั้นความเร็วรอบในวิธีอินเวอร์เตอร์มากกว่า จึงให้ความเร็วลมมากกว่า

สำหรับการเปลี่ยนแปลงความเร็วลม เนื่องจากการเปลี่ยนแปลงแรงดันไฟฟ้า พิจารณาออกเป็น 2 กรณี ดังนี้ คือ

(ก.1) กรณีเมื่อแรงดันไฟฟ้าลดลงจาก 380 Vrms เหลือ 360 Vrms ความเร็วลมที่เปลี่ยนแปลง ไปเฉลี่ยทั้ง 5 ตำแหน่งตามแนวแกน X และ Y ในวิธีอินเวอร์เตอร์ที่นำเสนอ คือ 2.84 % และ 6.83 % ตามลำดับแกน สำหรับวิธีเปิด-ปิด ความเร็วลมที่เปลี่ยนแปลงไปเฉลี่ยทั้ง 5 ตำแหน่งตามแนวแกน X และ Y คือ 4.47 % และ 5.08 % ตามลำดับแกน วิธีอินเวอร์เตอร์มีการเปลี่ยนแปลงความเร็วลมน้อยกว่าวิธีเปิด-ปิด อยู่ 1.63 % ในแนวแกน X แต่มีการเปลี่ยนแปลงความเร็วลมมากกว่าวิธีเปิด-ปิดอยู่ 1.73 % ในแนวแกน Y

(ก.2) กรณีเมื่อแรงดันไฟฟ้าเพิ่มจาก 380 Vrms เป็น 420 Vrms ความเร็วลมที่เปลี่ยนแปลงไป เฉลี่ยทั้ง 5 ตำแหน่งตามแนวแกน X และ Y ในวิธีอินเวอร์เตอร์ที่นำเสนอ คือ 0.73 % และ 5.53 % ตามลำดับแกน สำหรับวิธีเปิด-ปิด ความเร็วลมที่เปลี่ยนแปลงไปเฉลี่ยทั้ง 5 ตำแหน่งตามแนวแกน X และ Y คือ 1.61 % และ 3.43 % ตามลำดับแกน วิธีอินเวอร์เตอร์มีการเปลี่ยนแปลงความเร็วลมน้อยกว่าวิธี เปิด-ปิด อยู่ 0.88 % ในแนวแกน X แต่มีการเปลี่ยนแปลงความเร็วลมมากกว่าวิธีเปิด-ปิดอยู่ 2.1 % ใน แนวแกน Y

(ข) : จากตารางที่ 4.7 ผลของความเร็วลมแต่ละจุดในอุโมงค์ตามแนวแกน X และแกน Y กับ แรงดันไฟฟ้าด้านเข้าอินเวอร์เตอร์ ขณะที่อินเวอร์เตอร์ขั้บมอเตอร์พัดลมที่ความถี่ 20 % ผลการ เปลี่ยนแปลงความเร็วลมแต่ละตำแหน่งต่างกัน เมื่อแรงดันไฟฟ้าเปลี่ยนจากระดับ 380 Vrms ซึ่งเป็น ระดับแรงดันปกติ คิดความเปลี่ยนแปลงความเร็วลมเป็นเปอร์เซ็นต์ ตามแนวแกน X และ แกน Y ดังนี้

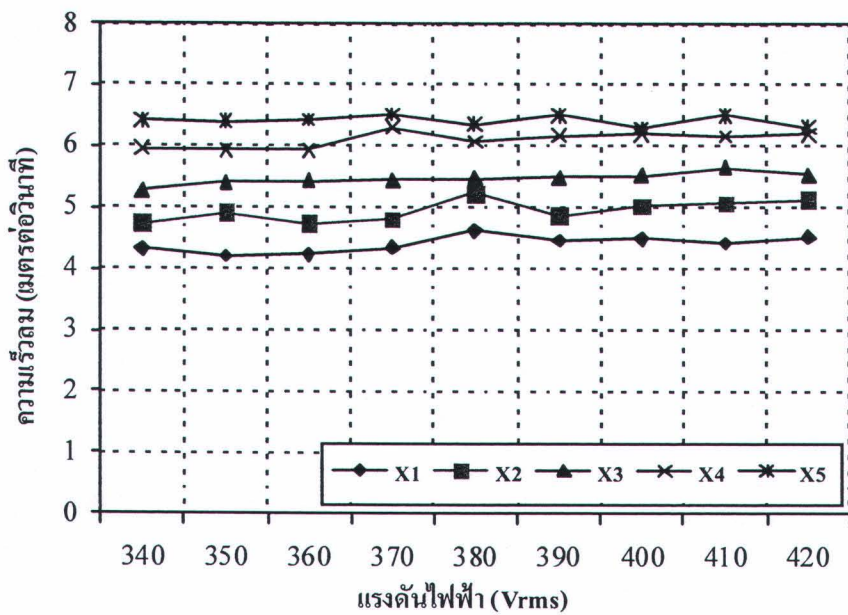
(ข.1) กรณีเมื่อแรงดันไฟฟ้าลดลงจาก 380 Vrms เหลือ 360 Vrms เกิดการเปลี่ยนแปลง ความเร็วลมในตำแหน่ง X1 X2 X3 X4 และ X5 คือ 17.79 % 1.49 % 6.23 % 2.27 % และ 4.37 % ตามลำดับ และคิดเป็นความเปลี่ยนแปลงความเร็วลมเฉลี่ยทั้ง 5 ตำแหน่งตามแนวแกน X คือ 6.42 % สำหรับตำแหน่ง Y1 Y2 Y3 Y4 และ Y5 คือ 3.04 % 2.04 % 0.30 % 3.0 % และ 3.40 % ตามลำดับ และคิดเป็นความเปลี่ยนแปลงความเร็วลมเฉลี่ยทั้ง 5 ตำแหน่งตามแนวแกน Y คือ 2.36 %

(x.2) กรณีเมื่อแรงดันไฟฟ้าเพิ่มขึ้นจาก 380 Vrms เป็น 420 Vrms เกิดการเปลี่ยนแปลงความเร็วลมในตำแหน่ง X1 X2 X3 X4 และ X5 คือ 11.04% 0.58% 5.14% 14.24% และ 22.10 % ตามลำดับ และคิดเป็นความเปลี่ยนแปลงความเร็วลมเฉลี่ยทั้ง 5 ตำแหน่งตามแนวแกน X คือ 10.62 % สำหรับตำแหน่ง Y1 Y2 Y3 Y4 และ Y5 คือ 14.78 % 1.70 % 6.79 % 1.91 % และ 4.45 % ตามลำดับ และคิดเป็นความเปลี่ยนแปลงความเร็วลมเฉลี่ยทั้ง 5 ตำแหน่งตามแนวแกน Y คือ 5.92 %

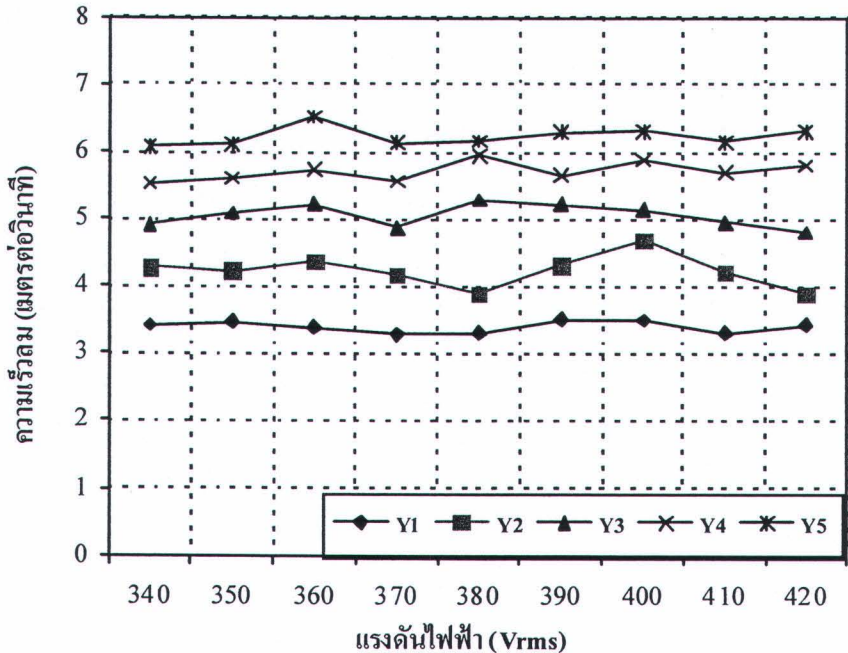
เมื่อเปรียบเทียบการเปลี่ยนของความเร็วลมขณะที่อินเวอร์เตอร์ขับมอเตอร์พัดลมที่ความถี่ 100 % และ 20 % พนว่า ในกรณีที่แรงดันไฟฟ้าลดลงจาก 380 Vrms เหลือ 360 Vrms ที่ความถี่ 20 % เกิดการเปลี่ยนแปลงความเร็วลมเฉลี่ยทั้ง 5 ตำแหน่งตามแนวแกน X มากกว่าที่ความถี่ 100 % อยู่ 3.58 % แต่ การเปลี่ยนแปลงความเร็วลมเฉลี่ยทั้ง 5 ตำแหน่งตามแนวแกน X น้อยกว่าที่ความถี่ 100% อยู่ 4.47 % และสำหรับในกรณีที่แรงดันไฟฟ้าเพิ่มขึ้นจาก 380 Vrms เป็น 420 Vrms ที่ความถี่ 20 % เกิดการเปลี่ยนแปลงความเร็วลมเฉลี่ยทั้ง 5 ตำแหน่งตามแนวแกน X และ Y มากกว่าที่ความถี่ 100 % อยู่ 9.89 % และ 0.39 %

ตารางที่ 4.5 ความเร็วลมแต่ละตำแหน่งในอุโมงค์ตามแนวแกน X และแกน Y กับแรงดันไฟฟ้าด้านเข้ามอเตอร์พัดลม ในวิธีปีด-ปิด

แรงดันไฟฟ้า เข้ามอเตอร์ (V _{L-L})	ความเร็วลมแต่ละตำแหน่งในอุโมงค์ลม (m/s)									
	X1	X2	X3	X4	X5	Y1	Y2	Y3	Y4	Y5
340	4.332	4.736	5.276	5.968	6.416	3.408	4.272	4.916	5.528	6.076
350	4.208	4.916	5.412	5.948	6.408	3.46	4.212	5.084	5.608	6.116
360	4.232	4.748	5.428	5.932	6.428	3.38	4.368	5.22	5.736	6.527
370	4.340	4.802	5.450	6.316	6.520	3.284	4.168	4.876	5.564	6.128
380	4.628	5.232	5.480	6.084	6.356	3.308	3.888	5.288	5.96	6.164
390	4.470	4.876	5.500	6.184	6.516	3.504	4.312	5.208	5.664	6.296
400	4.500	5.030	5.530	6.200	6.300	3.484	4.680	5.148	5.884	6.312
410	4.42	5.060	5.666	6.160	6.500	3.308	4.200	4.964	5.692	6.152
420	4.53	5.125	5.550	6.200	6.308	3.416	3.884	4.812	5.804	6.300



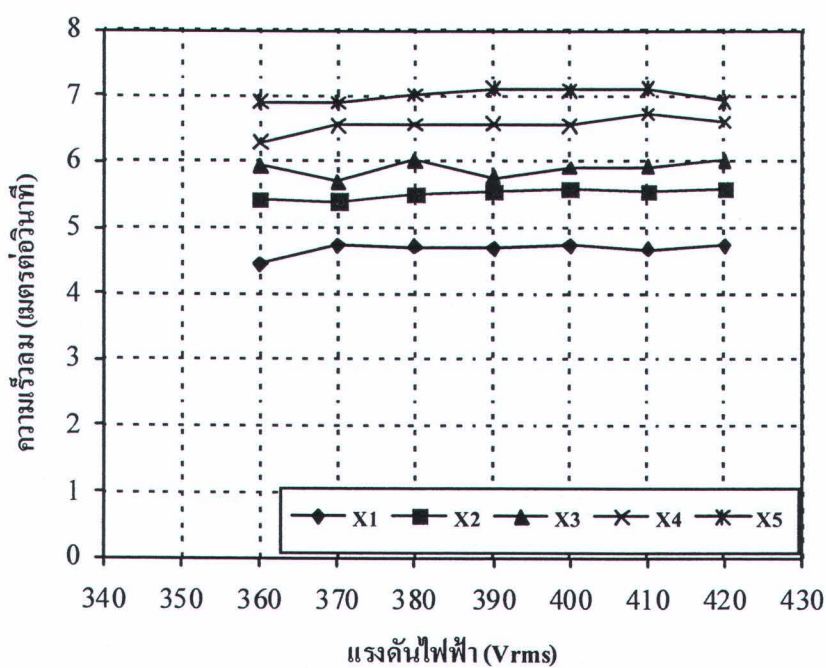
รูปที่ 4.20 แรงดันไฟฟ้าเข้ามอเตอร์พัดลมและความเร็วลมแต่ละตำแหน่งในอุโมงค์ลมตามแกน X ในวิธีเปิด-ปิด



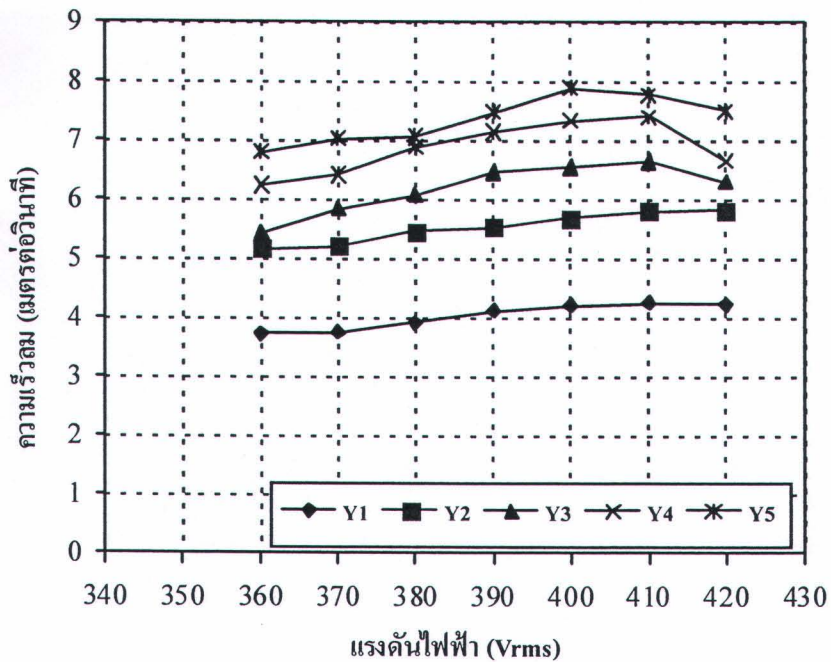
รูปที่ 4.21 แรงดันไฟฟ้าเข้ามอเตอร์พัดลมและความเร็วลมแต่ละตำแหน่งในอุโมงค์ลมตามแกน Y ในวิธีเปิด-ปิด

ตารางที่ 4.6 ความเร็วลมแต่ละตำแหน่งในอุโมงค์ตามแนวแกน X และแกน Y กับแรงดันไฟฟ้าด้านเข้าอินเวอร์เตอร์ ขณะที่อินเวอร์เตอร์ขับมอเตอร์พัดลมที่ความถี่ 100 %

แรงดันไฟฟ้า อินเวอร์เตอร์ (V _{L-L} input)	ความเร็วลมแต่ละตำแหน่งในอุโมงค์ลม (m/s)									
	X1	X2	X3	X4	X5	Y1	Y2	Y3	Y4	Y5
360	4.444	5.424	5.948	6.296	6.904	3.728	5.164	5.428	6.236	6.792
370	4.728	5.396	5.708	6.544	6.888	3.752	5.212	5.852	6.424	7.024
380	4.712	5.516	6.024	6.564	7.012	3.912	5.46	6.076	6.900	7.06
390	4.68	5.556	5.768	6.58	7.104	4.12	5.510	6.472	7.148	7.480
400	4.732	5.592	5.916	6.556	7.08	4.196	5.688	6.558	7.344	7.900
410	4.664	5.552	5.924	6.728	7.10	4.244	5.796	6.652	7.412	7.780
420	4.724	5.592	6.032	6.608	6.924	4.22	5.820	6.300	6.672	7.500



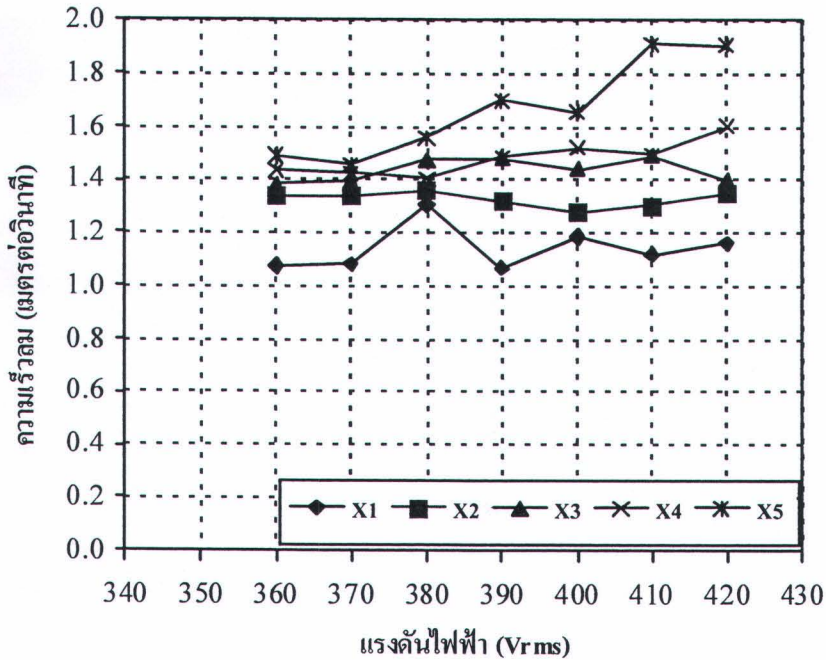
รูปที่ 4.22 แรงดันไฟฟ้าเข้าอินเวอร์เตอร์และความเร็วลมแต่ละตำแหน่งในอุโมงค์ลมตามแกน X ในวิธีอินเวอร์เตอร์ที่นำเสนอด้วยที่ขับมอเตอร์พัดลมด้วยความถี่ 100 %



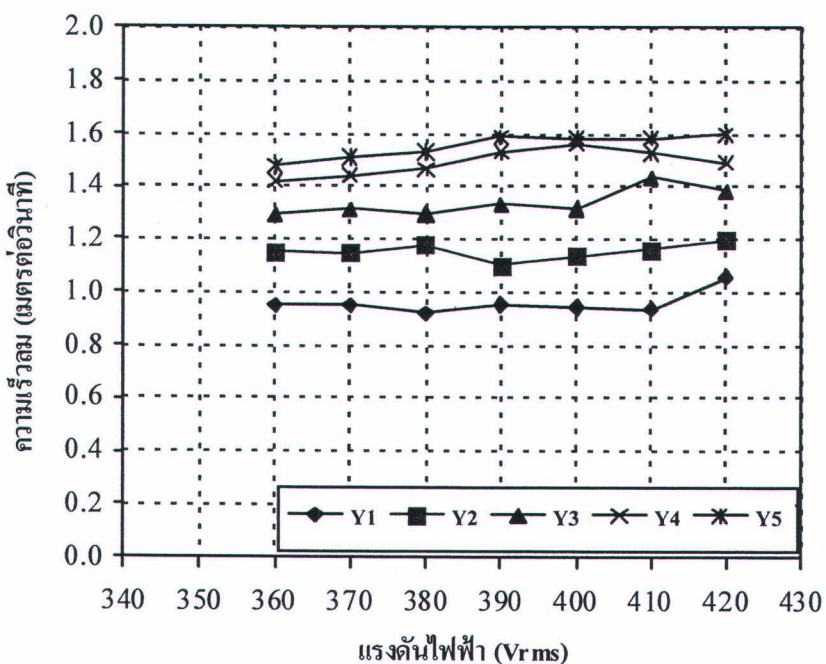
รูปที่ 4.23 แรงดันไฟฟ้าเข้าอินเวอร์เตอร์และความเร็วลมแต่ละตำแหน่งในอุโมงค์ลมตามแกน Y ในวิธีอินเวอร์เตอร์ที่นำเสนอด้านบนที่ขั้นตอนเตอร์พัดลมด้วยความถี่ 100 %

ตารางที่ 4.7 ผลของความเร็วลมแต่ละตำแหน่งในอุโมงค์ตามแนวแกน X และแกน Y กับ แรงดันไฟฟ้าด้านเข้าอินเวอร์เตอร์ ขณะที่อินเวอร์เตอร์ขั้นตอนเตอร์พัดลมที่ 20 %

แรงดันไฟฟ้า อินเวอร์เตอร์ (V _{L-L})	ความเร็วลมแต่ละตำแหน่งในอุโมงค์ลม (m/s)									
	X1	X2	X3	X4	X5	Y1	Y2	Y3	Y4	Y5
360	1.072	1.336	1.384	1.436	1.488	0.948	1.152	1.292	1.42	1.476
370	1.08	1.34	1.396	1.424	1.456	0.948	1.148	1.312	1.44	1.508
380	1.304	1.356	1.476	1.404	1.556	0.920	1.176	1.296	1.464	1.528
390	1.060	1.316	1.480	1.484	1.696	0.952	1.100	1.332	1.532	1.588
400	1.184	1.276	1.440	1.520	1.652	0.942	1.136	1.316	1.560	1.580
410	1.116	1.304	1.492	1.496	1.908	0.933	1.160	1.436	1.528	1.580
420	1.160	1.348	1.400	1.604	1.900	1.056	1.196	1.384	1.492	1.596



รูปที่ 4.24 แรงดันไฟฟ้าเข้าอินเวอร์เตอร์และความเร็วลมแต่ละตำแหน่งในอุโมงค์ลมตามเกณ X ในวิธีอินเวอร์เตอร์ที่นำเสนอ ขณะที่ขั้บมอเตอร์พัดลมด้วยความถี่ 20 %



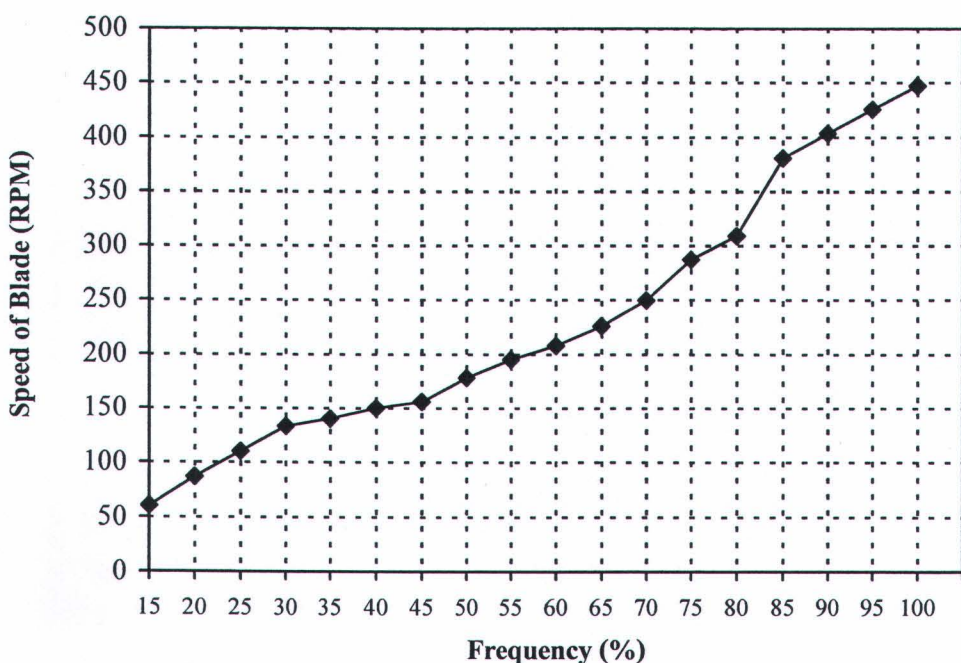
รูปที่ 4.25 แรงดันไฟฟ้าเข้าอินเวอร์เตอร์และความเร็วลมแต่ละตำแหน่งในอุโมงค์ลมตามเกณ Y ในวิธีอินเวอร์เตอร์ที่นำเสนอ ขณะที่ขั้บมอเตอร์พัดลมด้วยความถี่ 20 %

4.4.3 การปรับเปลี่ยนความเร็วรอบพัดลม

การทดลองนี้คือทดลองเพื่อหาความสัมพันธ์ระหว่างความเร็วรอบพัดลมกับความถี่ (%) ที่อินเวอร์เตอร์จ่ายให้มอเตอร์พัดลม การทดลองนั้นจะให้อินเวอร์เตอร์จ่ายความถี่ให้มอเตอร์พัดลมตั้งแต่ 15 ถึง 100 % (7.5 ถึง 50 Hz) โดยห่างกันช่วงละ 5 % แล้วทำการวัดความเร็วรอบพัดลม ที่ใบพัดลม สำหรับอุปกรณ์สำหรับในการทดลอง 4.4.3 มีดังนี้

1. แหล่งจ่ายไฟฟ้ากระแสสลับ 3 เฟส 380 V (rms) 50 Hz
2. เครื่องวัดความเร็วรอบพัดลม ยี่ห้อ DIGICON รุ่น DT-245P
3. อินเวอร์เตอร์สำหรับควบคุมสภาพอากาศและการระบายอากาศ
4. มอเตอร์พัดลมขนาด 50 นิ้ว ประเภท 6 ใบพัด
5. อุตราการทดลองพูลเลย์ (Pulley) เท่ากับ 1.13 : 3

ลักษณะการติดตั้งใบพัดลม พูลเลย์และสายพาน ของพัดลมที่ใช้ทดสอบ แสดงดังรูปที่ 2.9 (ข) และมีอัตราทดของพูลเลย์ลึกต่อพูลเลย์ใหญ่เท่ากับ 1.13 : 3 ในตารางที่ 4.8 ความสัมพันธ์ของความเร็วรอบใบพัดลม (รอบต่อนาที) และความถี่กระแสไฟฟ้ามอเตอร์พัดลม และแสดงเป็นกราฟได้ดังรูปที่ 4.26 ความเร็วรอบใบพัดลมแปรเปลี่ยนตามความถี่กระแสไฟฟ้ามอเตอร์พัดลม เมื่อเพิ่มความถี่กระแสไฟฟ้ามอเตอร์ ความเร็วรอบใบพัดลมก็เพิ่มตาม และความสัมพันธ์ของความเร็วรอบและความถี่ดังกล่าวเป็นลักษณะใกล้เคียงเส้นตรง และมีส่วนโค้งลง เนื่องมาจากความหน่วงของอากาศ ที่มีแรงต้านกับทิศทางการหมุนของใบพัดลม



รูปที่ 4.26 ความสัมพันธ์ของความเร็วรอบใบพัดลมกับความถี่ของมอเตอร์

ตารางที่ 4.8 ความสัมพันธ์ของความเร็วรอบใบพัดลมและความถี่ที่อินเวอร์เตอร์ขับมอเตอร์พัดลม

Frequency (%)	Speed of Blade fan (RPM)
15	60.000
20	86.660
25	110.000
30	133.033
35	140.00
40	150.000
45	155.860
50	178.333
55	195.00
60	207.600
65	226.000
70	250.00
75	287.33
80	309.00
85	380.66
90	403.33
95	425.333
100	447.333